

## บทที่ 3 ระเบียบวิจัยและวิธีการศึกษา

### 3.1 แนวคิดและการศึกษาวิจัย

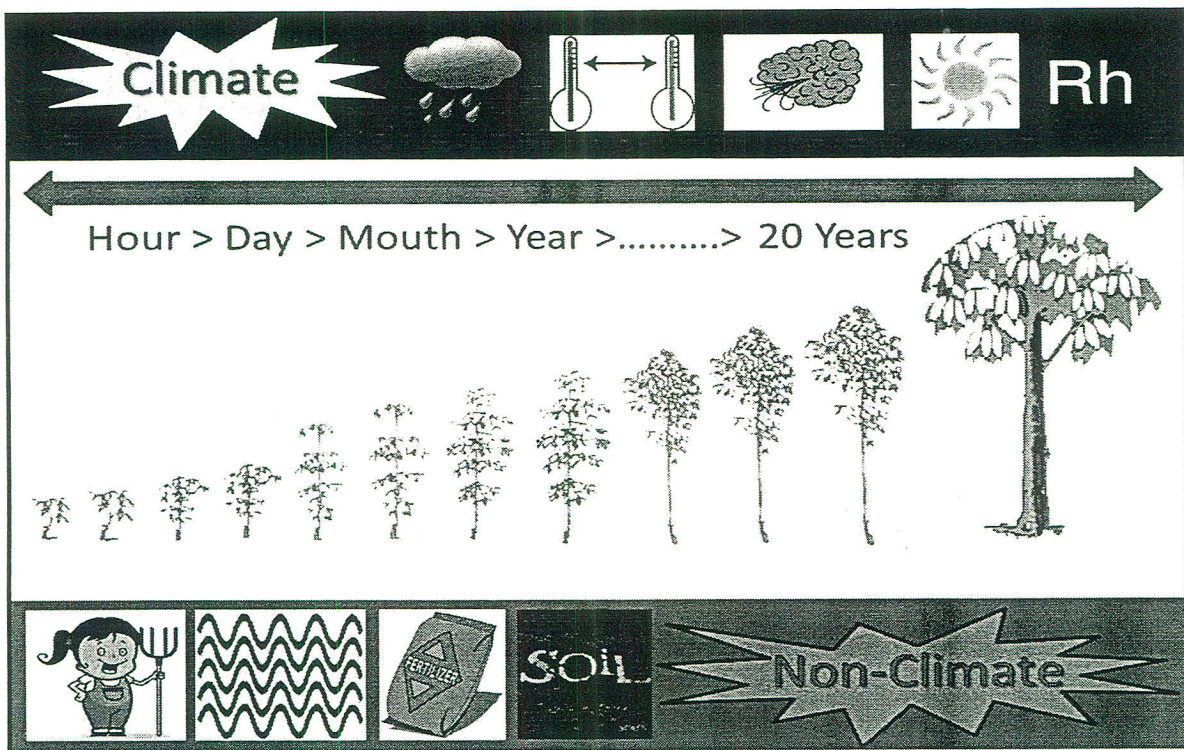
การศึกษาวิจัยภายใต้โครงการนี้ อาศัยพื้นฐานของการอภิปรายแนวคิดที่ว่าความแปรปรวนของสภาพภูมิอากาศในภาคต่างๆ ทั้งที่เกี่ยวข้องกับ Micro climate และที่เกิดจาก Large-scale natural and human-induced climate phenomena เป็นปัจจัยหนึ่งที่สำคัญมากจากปัจจัยที่ไม่เกี่ยวข้องกับภูมิอากาศ (Non-climatic factor) ที่มีอิทธิพลและส่งผลกระทบต่อการเจริญเติบโตและผลผลิตของต้นยางพาราตั้งแต่เริ่มปลูกไปจนถึงระยะเวลาที่เปิดกรีด (รูปที่ 3.1) โดยความแปรปรวนของตัวแปรภูมิอากาศ สามารถส่งผลกระทบโดยตรงต่อผลผลิตยางพาราและกิจกรรมการกรีดของเกษตรกรในช่วงหลังเปิดกรีด และโดยทางอ้อมแบบสะสมต่อสรุวิทยาในช่วงต้นยางพารากำลังเจริญเติบโตก่อนเปิดกรีด (รูปที่ 3.2) ทั้งนี้ ขอบเขตและครอบแนวคิดในการรวมของการวิจัย แสดงในรูปที่ 3.3 ซึ่งมุ่งเน้นศึกษาผลกระทบของสภาพภูมิอากาศต่อสรุวิทยา และผลผลิตของยางพารา ในช่วงหลังจากเปิดกรีดแล้วเท่านั้น โดยการดำเนินงาน ประกอบด้วย 3 กิจกรรมหลัก ดังนี้

กิจกรรมที่ 1 การวิเคราะห์ความแปรปรวนของตัวแปรภูมิอากาศในภาคใต้ที่เชื่อมโยงกับหมวดภูมิอากาศที่สำคัญระดับภูมิภาคและโลกและความสัมพันธ์กับผลผลิตยางพารา ซึ่งเป็นการวิเคราะห์ข้อมูลที่ติดภูมิในอดีตถึงปัจจุบันที่รวบรวมจากแหล่งต่างๆ ด้วยเทคนิคทางสถิติเชิงพหุ เพื่อหาความเชื่อมโยงระหว่างตัวแปรภูมิอากาศในภาคใต้และปรากฎการณ์ภูมิอากาศที่สำคัญระดับภูมิภาคและระดับโลกในภาคต่างๆ ตลอดจนความสัมพันธ์เชิงช้อนของความแปรปรวนร่วมของตัวแปรภูมิอากาศและผลผลิตของยางพาราในพื้นที่ภาคใต้

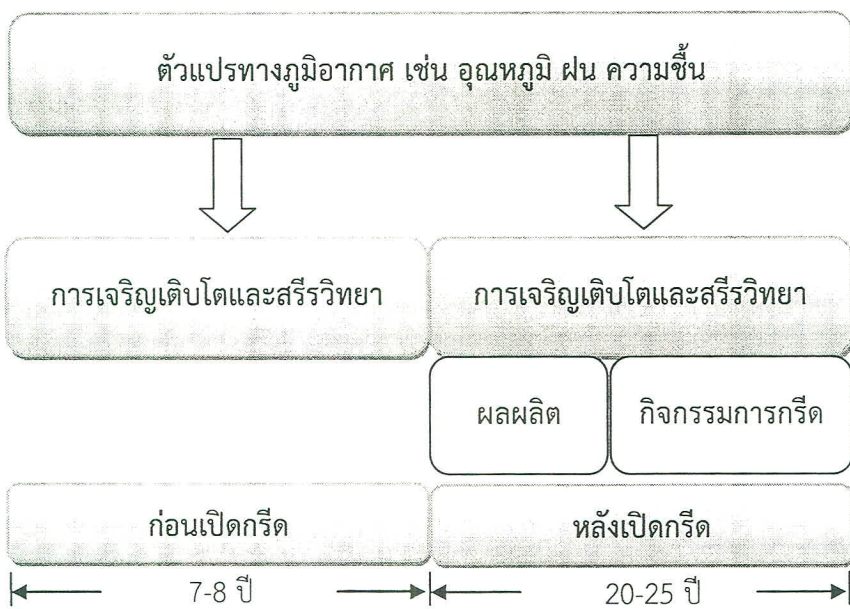
กิจกรรมที่ 2 การศึกษาการตอบสนองทางสรุวิทยา ผลผลิตและคุณภาพของยางพาราต่อความแปรปรวนของลมฟ้าอากาศในรอบฤดูกาลและรอบปี ซึ่งเป็นการเก็บข้อมูล Micro climate สรุวิทยา ผลผลิตและคุณภาพของน้ำยางพารา รวมทั้งข้อมูลสิ่งแวดล้อมอื่นๆ ที่เกี่ยวข้อง รายเดือนอย่างต่อเนื่องในแปลงสวนยางพารานำร่อง จำนวน 7 แปลงทดลองที่คัดเลือกจากสวนยางพาราของเกษตรกรในจังหวัดสงขลา พัทลุง นครศรีธรรมราช สุราษฎร์ธานี พังงา กระบี่และตรัง

กิจกรรมที่ 3 การศึกษาผลกระทบและความเสี่ยงของยางพาราจากภัยพิบัติทางภูมิอากาศในจังหวัดนำร่อง ซึ่งเป็นการรวบรวมข้อมูลความเสียหายและผลกระทบรายหมู่บ้านที่เกิดจากเหตุการณ์อุทกภัยและวาตภัย ในพื้นที่จังหวัดพัทลุงซึ่งเป็นพื้นที่หนึ่งที่ได้รับผลกระทบจากภัยพิบัติทางภูมิอากาศอย่างรุนแรงและต่อเนื่องในรอบ 5 ปีที่ผ่านมา เพื่อจัดทำฐานข้อมูลและวิเคราะห์ผลกระทบและความล่อแหลมเชิงพื้นที่

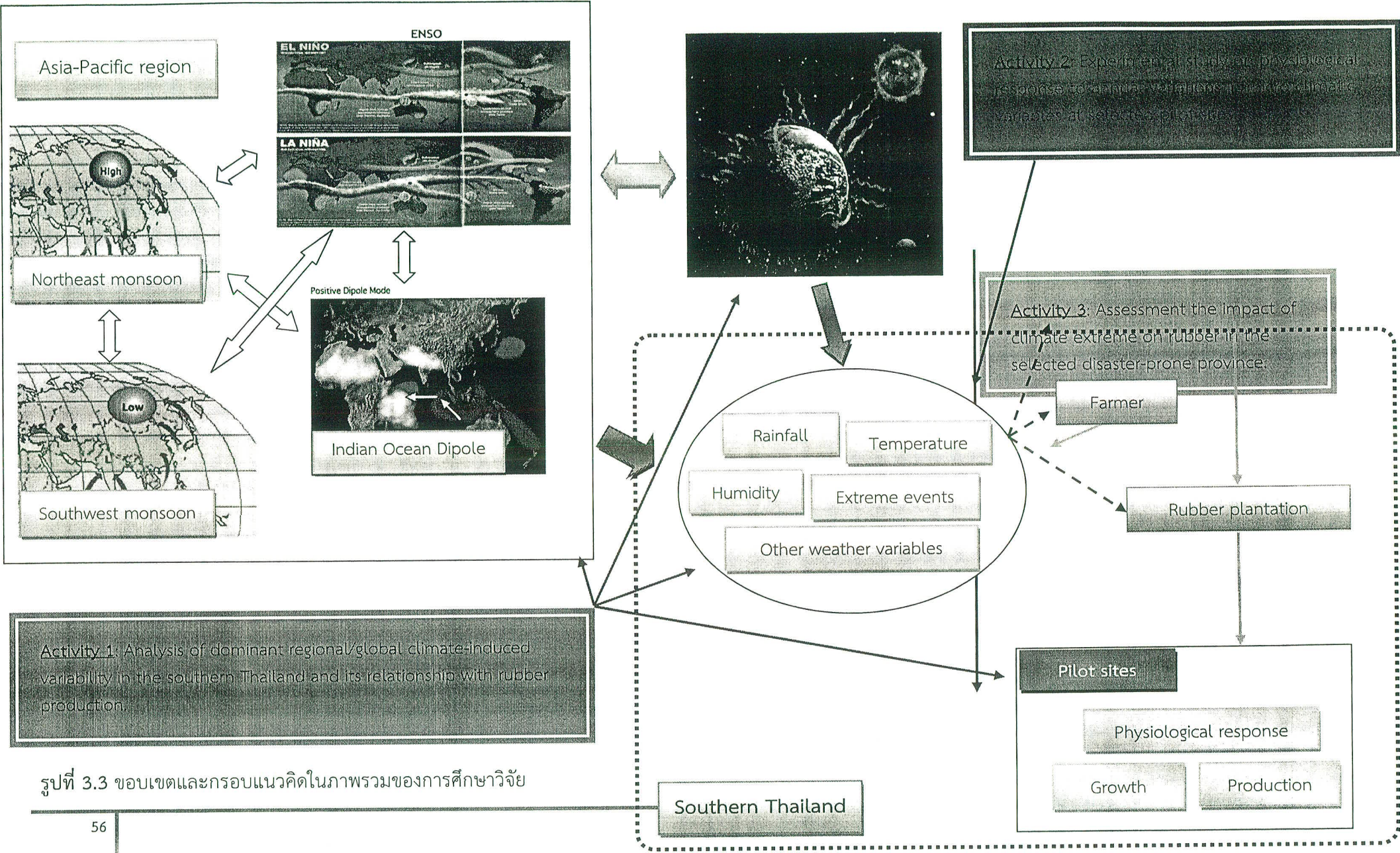
สำหรับการวิเคราะห์ตัวแปรภูมิอากาศนั้น ได้พิจารณาครอบคลุมตั้งแต่ความแปรปรวนในระดับ First-order moment เพื่ออธิบาย ‘Climate mean state’ ในภาคเวลารอบวัน ฤดูกาล ระหว่างฤดูกาล และระหว่างปีและระดับ Second-order moment ในรูปของ variance และด้วยสภาวะความรุนแรงของลมฟ้าอากาศ ซึ่งเป็นความแปรปรวนลำดับที่สองของข้อมูลในภาคต่างๆ และเป็นเหตุการณ์ทางภูมิอากาศในระดับที่รุนแรงที่มักปรากฏอยู่บริเวณปลายทั้งสองด้านหรือด้านใดด้านหนึ่งของการกระจายตัวของตัวแปรทางภูมิอากาศ (Meehl et al., 2000; Vinnikov and Robock, 2002; Kim et al., 2013) (รูปที่ 3.4) ซึ่งความแปรปรวนของตัวแปรภูมิอากาศทั้งในระดับ First และ second-order moment นี้ นำไปวิเคราะห์หาความสัมพันธ์กับดัชนีมรสุมและดัชนีปรากฎการณ์อีกด้วย รวมทั้งอนุกรมของข้อมูลผลผลิตยางพารา



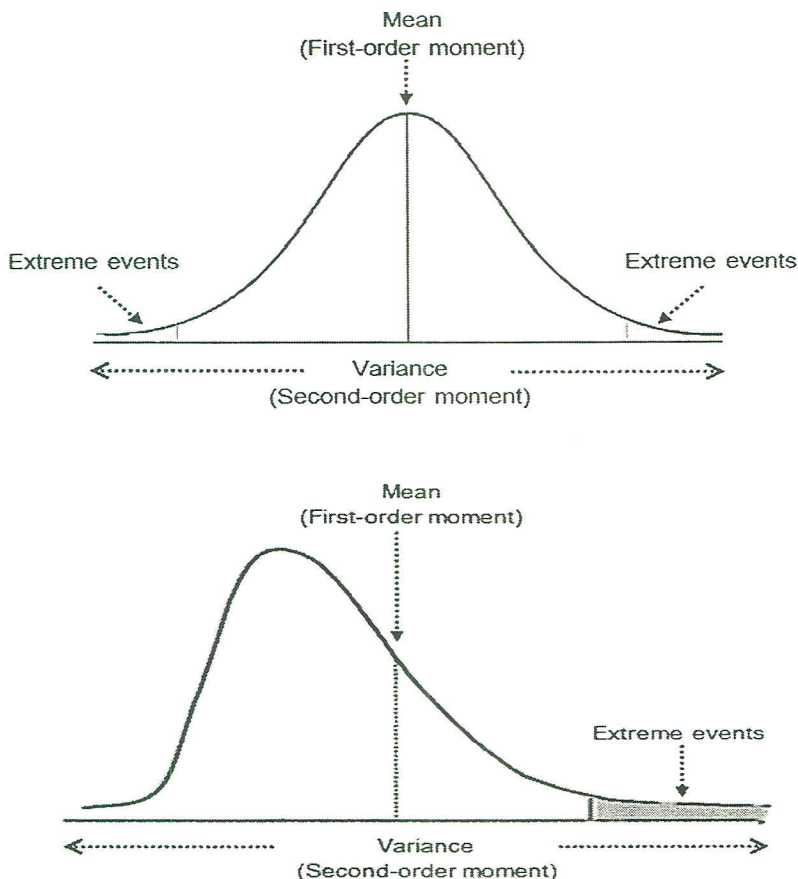
รูปที่ 3.1 แสดงความเกี่ยวโยงเชิงมโนทัศน์ระหว่างการเจริญเติบโตของต้นยางพาราตั้งแต่เริ่มปลูกไปจนถึงระยะเวลาที่เปิดกรีดกับปัจจัยทางภูมิอากาศและปัจจัยอื่นๆ ที่ไม่เกี่ยวข้องกับภูมิอากาศ



รูปที่ 3.2 แสดงความแปรปรวนของตัวแปรภูมิอากาศที่ส่งผลกระทบต่อการเจริญเติบโต สรีรวิทยาและผลผลิตของยางพาราช่วงก่อนและหลังเปิดกรีด



รูปที่ 3.3 ขอบเขตและกรอบแนวคิดในภาพรวมของการศึกษาวิจัย

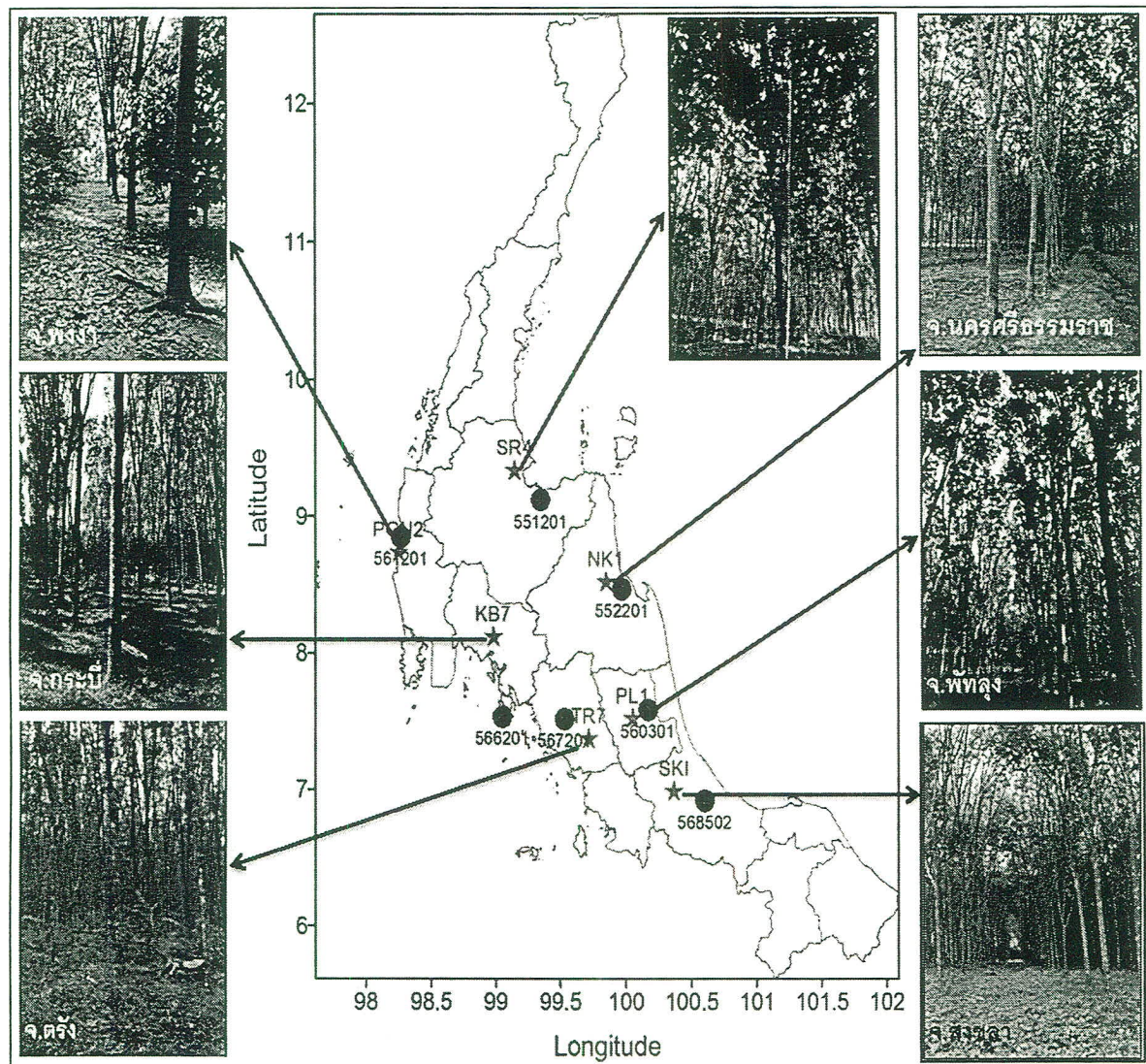


รูปที่ 3.4 การกระจายตัวของตัวแปรภูมิอากาศและความแปรปรวนลำดับที่ 1 และ 2 (First-second order moments) รวมถึงเหตุการณ์สภาวะความรุนแรง (Extreme event)

### 3.2 พื้นที่ศึกษา ประเภทและแหล่งข้อมูลที่ใช้

พื้นที่ 7 จังหวัดภาคใต้ซึ่งครอบคลุมฝั่งอันดามัน 3 จังหวัด ประกอบด้วย พังงา กระบี่และตรัง และฝั่งอ่าวไทย 4 จังหวัด ประกอบด้วยสุราษฎร์ธานี นครศรีธรรมราช พัทลุงและสงขลา ได้ถูกคัดเลือกเป็นพื้นที่ศึกษาในการวิจัยครั้งนี้ เนื่องจากเป็นจังหวัดที่มีพื้นที่ปลูกยางพาราร่วม 8,381,174 ไร่ หรือคิดเป็น 70.4% ของพื้นที่ยางพาราทั้งหมดของภาคใต้ (กระทรวงเกษตรและสหกรณ์, 2554) เหตุผลเพิ่มเติมประการหนึ่งในการคัดเลือกพื้นที่ศึกษาที่ครอบคลุมทั้งฝั่งอันดามันและฝั่งอ่าวไทย เพื่อต้องการเปรียบเทียบลักษณะการเปลี่ยนแปลงและรูปแบบการตอบสนองของยางพาราทั้งสองฝั่งของภาคใต้ต่อความแปรปรวนของสภาพภูมิอากาศที่แตกต่างกัน อย่างไรก็ตาม ข้อมูลผลผลิตยางพาราในจังหวัดอื่นบริเวณภาคใต้ต่อน่าจะ ได้ถูกนำมาวิเคราะห์เพิ่มเติม เพื่อประกอบการแปลผลในภาพรวมและเชิงเปรียบเทียบ ทั้งนี้ ได้คัดเลือกแปลงสวนยางพาราพันธุ์ RRIM 600 จังหวัดละ 1 แปลง จากสวนยางพาราของเกษตรกรซึ่งสถานที่ของแปลงสวนยางพารานำร่องตั้งอยู่ใกล้กับสถานีตรวจวัดภูมิอากาศของกรมอุตุนิยมวิทยา เป็นหลักเกณฑ์เบื้องต้นที่ใช้คัดเลือกแปลงสวนยางพารานำร่อง รูปที่ 3.5 แสดงที่ตั้งของแปลงสวนนำร่อง ลักษณะทางกายภาพของสวนยางพารา และสถานีตรวจวัดสภาพภูมิอากาศของกรมอุตุนิยมวิทยาในพื้นที่ 7 จังหวัดของภาคใต้ ในขณะที่ตารางที่ 3.1 แสดงรายละเอียดของแปลงยางพารานำร่องที่คัดเลือกใน 7 จังหวัดของภาคใต้

ข้อมูลที่ใช้ในการศึกษา ประกอบด้วย (1) ข้อมูลปฐมภูมิที่ตรวจวัดและเก็บรวบรวมโดยตรงจากแปลงยางพาราน้ำร่องในพื้นที่ 7 จังหวัดของภาคใต้ (ภาคผนวก 1) และ (2) ข้อมูลทุติยภูมิที่รวบรวมจากหน่วยงานต่างๆ ที่เกี่ยวข้อง รายละเอียดของข้อมูลที่ใช้ในแต่ละกิจกรรม ดังสรุปในตารางที่ 3.2



รูปที่ 3.5 ที่ตั้งของแปลงน้ำร่อง ถักยันต์ทางกายภาพของสวนยางพาราที่คัดเลือกในแต่ละจังหวัด และสถานีตรวจอากาศของกรมอุตุนิยมวิทยาที่ตั้งอยู่บริเวณใกล้เคียง

ตารางที่ 3.1 รายละเอียดของแปลงยางพารานำร่องที่คัดเลือกใน 7 จังหวัดของภาคใต้

จังหวัด	รหัส แปลง	ที่ตั้ง	พิกัด	อายุยาง (ปี)	ระบบกรีด
1. สุราษฎร์ธานี	SR1	ม. 3 ต. ท่าโรงช้าง อ. พุนพิน	9° 2' 45.2" N, 99° 9' 14.8" E	10	S/3 3d/4
2. นครศรีธรรมราช	NK1	ม. 4 ต. นาเรียง อ. พรหมคีรี	8° 31' 16.2" N, 99° 51' 34.0" E	11	S/3 2d/3
3. พัทลุง	PL1	บ้านไสสั่ง ต. ท่าแคร อ. เมือง	7° 31' 51.1" N, 100° 3' 28.4" E	13	S/3 3d/4
4. สงขลา	SK1	ม. 5 ต. คุณลัง อ. หาดใหญ่	6° 59' 23" N, 100° 22' 22" E	13	S/3 3d/4
5. ตรัง	TR7	ม. 4 ต. ในควน อ. ย่านตาขาว	7° 22' 29.8" N, 99° 43' 27" E	12	S/4 5d/6
6. ยะลา	KB7	ม. 1 ต. หัวยูง อ. เหนือคลอง	8° 7' 37.8" N, 98° 59' 42.6" E	10	S/3 4d/5
7. พังงา	PGN2	ม. 1 ต. คึกคัก อ. ตะกว้าป่า	8° 44' 24.6" N, 98° 15' 31.8" E	12	S/3 5d/6

ตารางที่ 3.2 รายละเอียดของข้อมูลที่ใช้ในแต่ละกิจกรรม

รายละเอียด	กิจกรรมที่ 1	กิจกรรมที่ 2	กิจกรรมที่ 3
1. ข้อมูลที่ใช้	<p>1) ข้อมูลภูมิอากาศ เช่น อุณหภูมิ ฝน ความเร็วลม และทิศทาง ความชื้นสัมพันธ์ อัตราการระเหย ราย 3 ชั่วโมงและรายวันจากสถานีตรวจอัตราพัดผิวน้ำ (รูปที่ 3.5)</p> <p>2) ข้อมูลฝนแบบกริดขนาด <math>0.25^{\circ} \times 0.25^{\circ}</math> ราย 3 ชั่วโมง จากฐานข้อมูลการเมือง Tropical Rainfall Measuring Mission (TRMM)</p> <p>3) ข้อมูลผลผลิตยางพารารายเดือนและรายปี</p> <p>4) ข้อมูลปริมาณการส่งออกยางพาราของประเทศไทย</p> <p>5) ดัชนีมรสุมฤดูร้อนอินเดีย (Indian Summer Monsoon Index; ISMI) และดัชนีมรสุมฤดูร้อนในมหาสมุทรแปซิฟิกเหนือฝั่งตะวันตก (Western North Pacific Summer Monsoon Index; WNPMI)</p> <p>6) East Asian Trough Intensity Index (EATII) และ East Asian Trough Axis Index (EATAI)</p> <p>7) Multivariate ENSO Index (MEI), Southern Oscillation Index (SOI) และ NIÑO3.4 Index</p>	<p>1) ข้อมูลภูมิอากาศในบริเวณพื้นที่ศึกษาใน 7 จังหวัด ได้แก่ พังงา กระบี่ ตรัง สุราษฎร์ธานี นครศรีธรรมราช พัทลุง และสงขลา ได้แก่ ข้อมูลฝนรายวัน ความชื้นสัมพันธ์ และการคาดคะเน</p> <p>2) ข้อมูลอาการผิดปกติของยางพาราเรื่องโรคทางใบและโรคทางดิน</p>	<p>1) ข้อมูลความเสียหายของสวนยางพารารายครัวเรือน และพื้นที่สวนยางพาราที่ได้รับจากเหตุการณ์อุทกภัย ลาดภัย และดินโคลนถล่ม ในช่วงปี 2553-2554 ของ จ.พัทลุง</p> <p>2) ฐานข้อมูล จปฐ.2554 จ.พัทลุง ประกอบด้วยรายชื่อ อำเภอ ตำบล หมู่บ้าน</p> <p>3) ฐานข้อมูลสารสนเทศทางภูมิศาสตร์ จ.พัทลุง พิกัดที่ตั้งระดับอำเภอ ตำบล หมู่บ้าน</p>

ตารางที่ 3.2 (ต่อ)

รายละเอียด	กิจกรรมที่ 1	กิจกรรมที่ 2	กิจกรรมที่ 3
2. แหล่งของข้อมูล	1) กรมอุตุนิยมวิทยา 2) Goddard Earth Sciences Data and Information Service Center 3) สถาบันวิจัยยาง กรมวิชาการเกษตร และคณะทรัพยากรธรรมชาติ มหาวิทยาลัยสงขลานครินทร์ 4) องค์การอาหารและการเกษตรแห่งสหประชาชาติ (Food and Agriculture Organization; FAO) 5) Monsoon Monitoring Page 6) Wang et al. (2009) 7) Earth System Research Laboratory, National Oceanic and Atmospheric Administration (NOAA), Climate and Global Dynamics Division, National Center for Atmospheric Research	1) กรมอุตุนิยมวิทยา 2) สถาบันวิจัยยาง กรมวิชาการเกษตร และคณะทรัพยากรธรรมชาติ มหาวิทยาลัยสงขลานครินทร์	1) สำนักงานกองทุนสงเคราะห์การทำสวนยาง 2) กรมการพัฒนาชุมชน 3) กรมส่งเสริมคุณภาพสิ่งแวดล้อม
3. ประเภทของข้อมูล	ทุติยภูมิ	ทุติยภูมิ	ทุติยภูมิ

### 3.3 วิธีรวมข้อมูลและการตรวจสอบคุณภาพทางสถิติ

#### 3.3.1 ข้อมูลภูมิอากาศราย 3 ชั่วโมงและรายวันจากสถานีตรวจวัดผิวน้ำ

ข้อมูลตัวแปรภูมิอากาศผิวน้ำราย 3 ชั่วโมงและรายวันจากสถานีตรวจวัดของกรมอุตุนิยมวิทยาจำนวน 7 สถานีในภาคใต้ (รูปที่ 3.5) ได้ถูกรวบรวม สถิติ จัดเรียงข้อมูลและตรวจสอบคุณภาพทางสถิติ ก่อนนำไปวิเคราะห์ โดยตัวแปรทางภูมิอากาศ ประกอบด้วย 1) ฝน 2) อุณหภูมิเฉลี่ย 3) ความเร็วลม 4) ความชื้น สัมพันธ์ และ 5) ปริมาณเมฆ ซึ่งรายละเอียดของข้อมูลที่ทำการรวมและสถิติ ดังแสดงในตารางที่ 3.3 ข้อมูลที่สกัดจากฐานข้อมูลของกรมอุตุนิยมวิทยาในแต่ละสถานี ได้ถูกนำมาจัดเรียงฟอร์เมทใหม่เพื่อตรวจสอบคุณภาพได้ง่ายขึ้น รวมทั้งสามารถประเมินและคำนวณผลด้วยโปรแกรมคอมพิวเตอร์ได้รวดเร็วขึ้น เนื่องจากข้อมูลราย 3 ชั่วโมงในแต่ละสถานี มีจำนวนข้อมูลถึง 2,920 ข้อมูลต่อปี ซึ่งหากสถานีมีระยะเวลาของข้อมูลระหว่าง 1981-2011 หรือ 31 ปี จะมีจำนวนข้อมูลสูงถึง 90,520 ข้อมูล สถิติเบื้องต้นและเปอร์เซ็นต์ของข้อมูลที่ขาดหายไปของอุณหภูมิเฉลี่ย ฝน ความเร็วลม และความชื้นสัมพันธ์ราย 3 ชั่วโมงในแต่ละสถานี สรุปในภาคผนวก 3

ข้อมูลที่ผ่านการทดสอบในเบื้องต้น ได้ถูกนำเข้ากระบวนการทดสอบคุณภาพข้อมูลทางสถิติ โดยประยุกต์ใช้วิธีมาตรฐานสำหรับการควบคุมและประกันคุณภาพสำหรับข้อมูลสภาพภูมิอากาศ (Peterson, 1994; Peterson and Vose, 1997; Vincent and Gullett, 1999; Auger et al., 2003; Wijngaard et al., 2003; Feng et al., 2004) และเป็นวิธีที่แสงจันทร์ ลิ้มจิราภรณ์ (2553) และอุษา ชั้มพรี และคณะ (2555) นำมาใช้ทดสอบคุณภาพข้อมูลภูมิอากาศสำหรับการวิเคราะห์แนวโน้มการเปลี่ยนแปลงสภาพความรุนแรงของลมฟ้าอากาศและวงจรรอบวันและการผันแปรความถี่สูงของฝนในประเทศไทย ประกอบด้วย

##### 1. การตรวจสอบความคลาดเคลื่อนโดยรวม (Gross error check) มีรายละเอียด ดังนี้

(1.1) ความสอดคล้องของวันตามปฏิกิริทน เช่น จำนวนวันต่อปีและจำนวนวันต่อเดือน

(1.2) ค่าสูงหรือต่ำผิดปกติของข้อมูล (High-low extreme value) เป็นการตรวจเช็คค่าผิดปกติของข้อมูลในแต่ละสถานี โดยค่าที่สูงหรือต่ำกว่าความเป็นจริง จะมีการตรวจในรายละเอียด และอาจถือว่าเป็นค่าผิดปกติในฐานข้อมูลที่ไม่ถูกนำไปใช้ในการทดสอบคุณภาพข้อมูลในขั้นตอนต่อไป หากไม่สามารถอธิบายสาเหตุได้

##### 2. การตรวจสอบค่าผิดปกติในเชิงเวลา (Temporal outlier check)

วิธีการควบคุมคุณภาพที่กล่าวมาข้างต้น สามารถตรวจสอบค่าความคลาดเคลื่อนที่ปรากฏอย่างชัดเจนในอนุกรมของข้อมูลเท่านั้น แต่ไม่สามารถตรวจเช็คค่าผิดปกติของข้อมูลที่มีค่ามากหรือน้อยกว่าค่าข้อมูลใกล้เคียงแต่ไม่เกินขอบเขต (Threshold) และการเปลี่ยนแปลงลักษณะก้าวกระโดด (Step change) ระหว่างข้อมูลสองค่าที่อยู่ติดกันได้ ดังนั้น ค่าผิดปกติในเชิงเวลาทั้งสองกรณีสำหรับข้อมูลรายวัน สามารถตรวจเช็คได้ด้วยวิธีประเมินความแปรปรวนของข้อมูลในแต่ละเดือน ซึ่งสถิติที่เหมาะสมต่อข้อมูลที่มีการแจกแจงไม่ปกติ โดยเฉพาะอย่างยิ่งฝน คือ ค่าความเบี่ยงเบนมาตรฐานของข้อมูล (Standard deviation; SD) (Peterson et al., 1998) โดยข้อมูลจัดว่าเป็นค่าผิดปกติในเชิงเวลาในกรณี

$$X_i > \text{Mean} \pm f * \text{SD} \quad (1)$$

ในขณะที่  $X_i =$  ค่าข้อมูลวันที่  $i$  ในแต่ละเดือน

$\text{Mean} =$  ค่าเฉลี่ยของข้อมูลรายวันในแต่ละเดือน

$$SD = \text{ค่าเบี่ยงเบนมาตรฐานของข้อมูลรายวันในแต่ละเดือน}$$

$$f = 15 \text{ (ค่าคงที่แสดงถึงช่วงที่ยอมรับได้ ซึ่งได้จากการทดลอง)}$$

อย่างไรก็ตาม การใช้ค่าความเบี่ยงเบนมาตรฐาน อาจมีปัญหาที่ไม่สามารถตรวจสอบค่าผิดปกติที่มีค่าไม่สูงมาก โดยทั่วไปจะเกิดขึ้นในกรณีที่ชุดข้อมูลนั้นๆ มีค่าผิดปกติสูงมากๆ อยู่เพียงไม่กี่ค่าในอนุกรมเท่านั้น ดังนั้น วิธีทางสถิติอีกวิธีหนึ่งที่มีประสิทธิภาพกว่าค่าเบี่ยงเบนมาตรฐานและแทนแทนต่อค่าผิดปกติได้ดี คือ ค่าพิสัยระหว่างควอไทล์ (Inter-Quartile Range, IQR) โดยข้อมูลจัดเป็นค่าผิดปกติในกรณีที่

$$X_{ij} - q50_j > f * IR_j \quad (2)$$

เมื่อ  $X_{ij}$  = ค่าข้อมูลวันที่  $i$  ในเดือน  $j$   
 $q50_j$  = ค่ามัธยฐานหรือค่าเปอร์เซนไทล์ที่ 50 ของข้อมูลในเดือน  $j$   
 $f$  = ช่วงของความแปรปรวนที่กำหนดขอบเขตค่าผิดปกติ ปกติจะมีค่าระหว่าง 3 ถึง 5 ทั้งนี้  $f$  อาจมีค่ามากกว่า 5 ซึ่งขึ้นอยู่กับลักษณะการกระจายตัวของข้อมูล  
 $IR_j$  = Inter-Quartile Range (ค่าเปอร์เซนไทล์ที่ 75 ลบด้วยเปอร์เซนไทล์ที่ 25)

### 3. การตรวจสอบค่าผิดปกติในเชิงพื้นที่ (Spatial outlier check)

วิธีมัตรฐานในการตรวจเช็คค่าผิดปกติในเชิงพื้นที่สำหรับข้อมูลภูมิอากาศรายวัน คือ เทคนิคการเปรียบข้อมูลรายวันในแต่ละเดือนกับข้อมูลของสถานีใกล้เคียงอย่างน้อย 3 สถานี (Eischeid et al., 1995; Peterson et al., 1998; Feng et al., 2004) ทั้งนี้ สถานีใกล้เคียงที่เลือกมาเป็นสถานีอ้างอิงในการเปรียบเทียบ ต้องมีความสัมพันธ์กับสถานีที่ต้องการตรวจสอบค่าผิดปกติในเชิงพื้นที่ ขั้นตอนหลักของการวิเคราะห์ค่าผิดปกติในเชิงพื้นที่ ประกอบด้วย การสร้างสมการทดถอยเชิงเส้นตรงระหว่างสถานีใกล้เคียงและสถานีที่ตรวจเช็คค่าผิดปกติและคำนวณค่า Root-mean-square error (RMSE) ของสมการดังกล่าว หลังจากคำนวณสมการทดถอยเชิงเส้นตรงทุกสถานีใกล้เคียงแล้ว ค่าข้อมูลรายวันที่จัดว่าเป็นค่าผิดปกติ ในกรณีที่ค่าข้อมูลนั้นๆ อยู่นอกช่วงความเชื่อมั่นของสมการทดถอยเชิงเส้นตรงทุกสมการระหว่างสถานีที่ตรวจเช็คค่าผิดปกติและสถานีใกล้เคียง (Hubbard, 2001) ซึ่งแสดงได้ดังนี้

$$VF_{ij} - F * RMSE_j < X_i < VF_{ij} + F * RMSE_j \quad (3)$$

ในขณะที่  $j = 1, \dots, N$  คือ จำนวนสถานีใกล้เคียง  
 $I = 1, \dots, m$  คือ วันใดวันหนึ่งในเดือนนั้นๆ และ  $m$  คือ จำนวนวันในเดือนนั้น  
 $X_i$  = ข้อมูลของสถานีที่ตรวจเช็คในวันที่  $i$   
 $VF_{ij}$  = ค่าประมาณของค่า  $X_i$  จากสมการทดถอยของสถานี  $j$  ของข้อมูลวันที่  $i$   
 $F$  = ขอบเขตของความเชื่อมั่นของสมการทดถอย ในกรณีนี้  $F = 3$

#### 4. ข้อมูลที่ขาดหายไปหรือช่องว่างของข้อมูล (Missing data and data gap)

ข้อมูลที่ขาดหายไปหรือช่องว่างของข้อมูลในอนุกรมข้อมูลรายวัน รวมทั้งข้อมูลที่ส่งสัญญาและค่าผิดปกติจากการตรวจเช็คด้วย 3 วิธีข้างต้น ทำการประมาณค่าในช่วง (Interpolation) เพื่อให้เกิดความสมบูรณ์และต่อเนื่องในอนุกรมข้อมูล โดยใช้วิธีของ Hubbard (2001) ซึ่งแสดงได้ดังนี้

$$V_{ei} = \sum_{j=1}^N [VF_{ij} \times RMSE_j^{-2}] \Big/ \sum_{j=1}^N RMSE_j^{-2} \quad (4)$$

ในขณะที่  $V_{ei}$  = ค่าประมาณของข้อมูลที่ขาดหายไปและเครื่องหมายอื่น ๆ เมื่อเทียบกับสมการที่ 3

#### 5. การทดสอบความเป็นเนื้อเดียวกันของข้อมูล

Penalized maximal T และ F Tests (Wang et al., 2007; Wang, 2008) ซึ่งถูกพัฒนาและปรับปรุงให้เป็นวิธีมาตรฐานสำหรับการตรวจสอบ และปรับแก้ความเป็นเอกพันธ์ (Homogeneity) ของข้อมูลภูมิอากาศภายใต้โครงการ Joint World Meteorological Organization (WMO) Commission for Climatology (CCI)/ World Climate Research Program (WCRP) Climate Variability and Predictability (CLIVAR) Project's Expert Team on Climate Change Detection, Monitoring and Indices (ETCCDMI) (<http://www.clivar.org/organization/etccdi/indices.php>) ได้ถูกนำมาประยุกต์ใช้เพื่อทดสอบความเป็นเอกพันธ์ของข้อมูลฝน โดยทำการตรวจสอบความเป็นเอกพันธ์ของข้อมูลตั้งแต่กล่าวหลักการของเทคนิค Penalized maximal T และ F Tests ในการระบุการเปลี่ยนแปลงแบบก้าวกระโดดในอนุกรมข้อมูล โดยทำการเบรี่ยบเทียบ Goodness of fit ระหว่างโมเดล Two-phase regression กับแนวโน้มการเปลี่ยนแปลงเชิงเส้นตรงของอนุกรมข้อมูลทั้งหมด Wang et al. (2007) และ Wang (2008) ได้อธิบายรายละเอียดและขั้นตอนของ Penalized maximal T และ F Tests และ FORTRAN source code มีรายละเอียดใน <http://cccma.seos.uvic.ca/ETCCDI/software.shtml> เทคนิค Penalized maximal T และ F Tests

ตารางที่ 3.3 รายละเอียดของข้อมูลราย 3 ชั่วโมงและรายวันที่ได้สกัดจากฐานข้อมูลของกรมอุตุนิยมวิทยา

รหัสสถานี	ชื่อสถานี	จังหวัด	ระยะเวลาของข้อมูล (ค.ศ.)
552201	นครศรีธรรมราช	นครศรีธรรมราช	1981-2011
560301	พัทลุง สาข.	พัทลุง	2006-2011
568501	สงขลา	สงขลา	1981-2011
551201	สุราษฎร์ธานี	สุราษฎร์ธานี	1981-2011
561201	ตาะกัวป่า	พังงา	1981-2011
566201	เกาะลันตา	กระบี่	1981-2011
567201	ตรัง	ตรัง	1981-2011

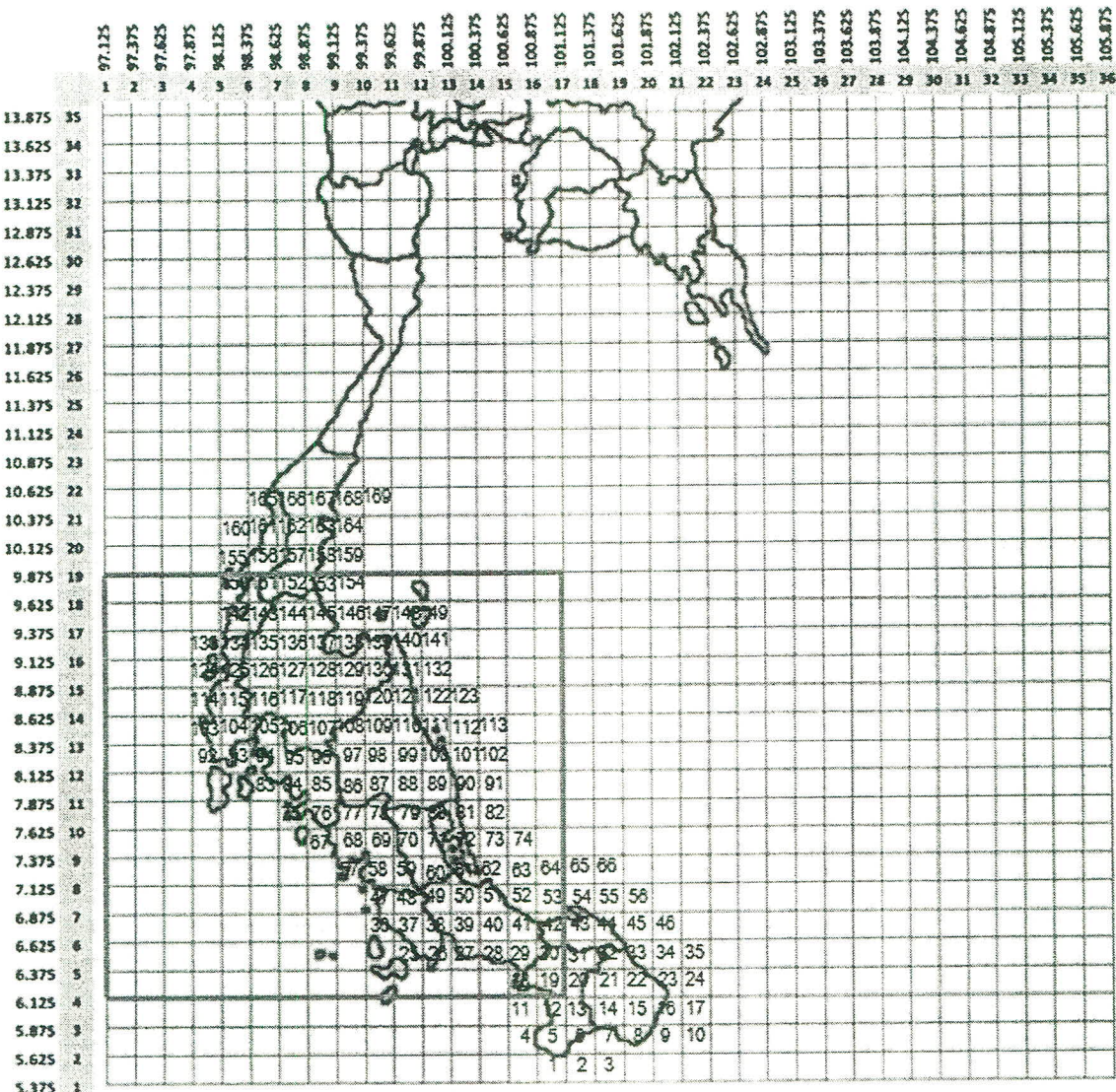
หมายเหตุ : ระยะเวลาของข้อมูลทั้ง 5 ตัวแปร คือ ฝน อุณหภูมิเฉลี่ย ความเร็วลม ความชื้นสัมพันธ์ และอัตราการระเหย

### 3.3.2 ข้อมูลหยาดน้ำฟ้าราย 3 ชั่วโมงแบบกริดจากดาวเทียม TRMM

TRMM เป็นดาวเทียมที่ปฏิบัติการร่วมระหว่างประเทศไทยและประเทศไทยอเมริกา เพื่อติดตามตรวจสอบหยาดน้ำฟ้าในเขตอุ่นและเขตกึ่งร้อน และเพื่อประมาณความร้อนแห้ง (Latent heat) ที่เกี่ยวข้องกับกระบวนการเกิดฝน/หยาดน้ำฟ้า (TRMM, 2010a) โดยเริ่มดำเนินการตั้งแต่ ค.ศ. 1997 เป็นต้นมาจนถึงปัจจุบัน Sensor หลักที่ใช้ตรวจวัดหยาดน้ำฟ้าของดาวเทียม TRMM ประกอบด้วย Precipitation Radar (PR), TRMM Microwave Image (TMI) และ Visible/Infrared Scanner (VIRS) (NASA, 2010) ฐานข้อมูลความละเอียดสูงแบบกริดที่ตรวจวัดจากดาวเทียม TRMM ที่ใช้ในการศึกษานี้ คือ ข้อมูลหยาดน้ำฟ้ารายวันระดับ 3 (Level 3) TRMM 3B-42 version 6 (TRMM merged high quality/Infrared (IR) precipitation) ซึ่งถูกประมวลโดย TRMM Multi-satellite Precipitation Analysis (TMPA) (Huffman et al., 2007) TRMM 3B-42 version 6 ได้ถูกจัดทำจากการรวมข้อมูล Passive microwave ที่ตรวจวัดด้วย TMI (Special Sensor Microwave Imager (SSM/I), Advanced Microwave Scanning Radiometer (AMSR) และ Advanced Microwave Sounding Unit (AMSU) เพื่อจัดทำข้อมูล TRMM คุณภาพสูงที่รวม Infrared precipitation และประมาณค่า Root-mean-square (RMS) precipitation error (Huffman et al., 2007; TRMM, 2010b) ข้อมูล 3B-42 มีความละเอียดในเชิงพื้นที่ เท่ากับ  $0.25^{\circ} \times 0.25^{\circ}$  และความละเอียดเชิงเวลาเท่ากับ 3 ชั่วโมง ซึ่งครอบคลุมรอบโลกตั้งแต่เส้นรุ้ง 50 องศาใต้ถึงเส้นรุ้ง 50 องศาเหนือ 3B-42 version 6 อัลกอริธึม (Algorithm) ประกอบด้วย 2 ขั้นตอนหลัก โดยขั้นตอนแรก ใช้ข้อมูล TRMM VIRS และ TMI (ผลผลิตของ TRMM เวอร์ชัน 1B01 และ 2A12) และตัวแปรสอบเทียบจากข้อมูล TMI/TRMM รายเดือน เพื่อจัดทำปัจจัยสอบเทียบรายเดือนของ IR และขั้นตอนที่สอง ใช้ปัจจัยสอบเทียบรายเดือนของ IR เพื่อปรับแก้ข้อมูลหยาดน้ำฟ้า Merged-IR (Huffman et al., 2007; TRMM, 2010b) ทั้งนี้ ข้อมูล TRMM ราย 3 ชั่วโมง ระดับ 3 (Level 3) ได้ผ่านกระบวนการควบคุมคุณภาพหลายขั้นตอน โดยวิธีการควบคุมคุณภาพข้อมูล เป็นส่วนหนึ่งของ Algorithm ที่ใช้ประมวลข้อมูล

Chokngamwong and Chiu (2008) ได้นำข้อมูลฝนรายวันที่ตรวจวัดจากสถานีผิวน้ำพื้นของกรมอุตุนิยมวิทยา จำนวน 100 สถานี ในระหว่าง ปี ค.ศ. 1993 – 2002 เพื่อเปรียบเทียบความถูกต้องและความคลาดเคลื่อนของข้อมูล TRMM 3B-42 version 6 ในบริเวณประเทศไทย ผลการศึกษาพบว่า ข้อมูลหยาดน้ำฟ้าจาก TRMM 3B-42 version 6 มีค่าไกล์เคียงและสอดคล้องกับข้อมูลฝนจากสถานีตรวจวัดผิวน้ำพื้น โดย Bias, Root-mean-square difference (RMSD) และ Mean absolute difference (MAD) มีค่า -0.12, 11.89 และ 5.02 ตามลำดับ และมีค่าต่ำกว่าเมื่อเปรียบเทียบกับ TRMM 3B-42 version 5 (0.89, 11.81 และ 5.71) ซึ่งแสดงถึงข้อมูลดาวเทียม TRMM แบบกริดที่มีความละเอียดสูงในบริเวณประเทศไทย มีความถูกต้องและแม่นยำเพิ่มขึ้นหลังจากการประมวลผลด้วย TMPA algorithm

การศึกษานี้ได้ดาวน์โหลดและสกัดข้อมูล TRMM ราย 3 ชั่วโมงซึ่งถูกจัดอยู่ในรูป netCDF file ที่มีขนาดไฟล์ประมาณ 4.40 MB ครอบคลุมขอบเขตพื้นที่บริเวณภาคใต้ ( $5.375^{\circ}$  ถึง  $10.625^{\circ}$  latitude,  $97.875^{\circ}$  ถึง  $102.375^{\circ}$  longitude) จำนวน 198 blocks (รูปที่ 3.6) ระหว่างเดือนมกราคม ปี ค.ศ. 1998 – เดือนมิถุนายน ปี ค.ศ. 2011 (14 ปี) โดยทำการดาวโหลดฐานข้อมูลจาก Goddard Earth Sciences Data and Information Service Center จำนวนข้อมูลที่ได้ดาวน์โหลดและสกัดมีทั้งสิ้น 39,408 ไฟล์ และในแต่ละไฟล์ ได้ผ่านการตรวจสอบคุณภาพของข้อมูลอีกครั้งหนึ่ง โดยพบว่าข้อมูลมีความสมบูรณ์อยู่ในเกณฑ์สูง ซึ่งเปอร์เซ็นต์การสูญหายของข้อมูล น้อยกว่า 0.03% ทั้งนี้ ข้อมูลในแต่ละกริด ได้ถูกจัดเรียงเป็นอนุกรมเวลาเพื่อให้ง่ายต่อการประมวลและวิเคราะห์ทางสถิติในขั้นตอนต่อไป



รูปที่ 3.6 โดเมนของข้อมูลหยาดน้ำฟ้าราย 3 ชั่วโมง แบบกริดขนาด  $0.25^{\circ} \times 0.25^{\circ}$  ซึ่งครอบคลุม 7 จังหวัด  
ของภาคใต้ระหว่างปี ค.ศ. 1998-2010 ที่สกัดจากฐานข้อมูลดาวเทียม TRMM

### 3.3.3 ข้อมูลผลผลิตยางพารา

ข้อมูลผลผลิต ข้อมูลเนื้อที่ยืนต้นและเนื้อที่เปิดกรีดยางพาราตามรายจังหวัด ในพื้นที่ 7 จังหวัดในภาคใต้ (สุราษฎร์ธานี นครศรีธรรมราช พัทลุง สงขลา ตรัง ยะลา และพังงา) ได้ถูกรวบรวมจากสำนักงานกองทุนส่งเสริมการทำการสวนยาง สภาบันวิจัยการยางและสหกรณ์รับซื้อน้ำยาง ข้อมูลผลผลิตยางพาราในช่วงปี พ.ศ. 2548-2553 (2005-2010) เป็นข้อมูลที่ได้มีการบันทึกแบบรายเดือนต่อผลผลิต (ตัน) ทั้งนี้ ได้ทำการ Normalize ด้วยพื้นที่เปิดกรีด เพื่อให้ข้อมูลผลผลิตยางพารา สามารถเปรียบเทียบรูปแบบความแปรปรวนและอัตราผลผลิตในแต่ละจังหวัดได้ ในส่วนของข้อมูลเนื้อที่ยืนต้นและข้อมูลเนื้อที่เปิดกรีดของยางพารา เป็นข้อมูลย้อนหลัง 10 ปี ในช่วงระหว่างปี พ.ศ. 2543-2553 (2000-2010) ซึ่งมีการบันทึกแบบจำนวนไร่ต่อปี ผลผลิตยางพารารายปี ในช่วงระหว่างปี พ.ศ. 2543-2553 (2000-2010) สำหรับพื้นที่ 7 จังหวัดภาคใต้ตอนล่าง (พัทลุง สงขลา ปัตตานี นราธิวาส ยะลา สตูล และตรัง) ยังได้ถูกรวบรวมเพิ่มเติมจากหน่วยงานที่เกี่ยวข้อง นอกจากนี้ ข้อมูลผลผลิตยางพาราในภาพรวมทั้งประเทศที่ส่งออกรายปีของประเทศไทยตั้งแต่ปี 1961 ถึง 2010 (50 ปี) ได้ถูกดาวโหลดจากฐานข้อมูลขององค์การอาหารและการเกษตรแห่งสหประชาชาติ (Food and Agriculture Organization; FAO) ข้อมูลทั้งหมดที่รวบรวมได้ ผ่านกระบวนการควบคุมคุณภาพ ก่อนนำไปวิเคราะห์ความสัมพันธ์ในรอบถูกากและระหว่างปี ระหว่างผลผลิตยางพาราและความแปรปรวนและสภาวะความรุนแรงของภัยอากาศในขั้นตอนการดำเนินงานในระยะต่อไป

### 3.3.4 ข้อมูลที่ตรวจวัดและรวบรวมจากแปลงสวนยางพารานำร่อง

ข้อมูลการเปลี่ยนแปลงดัชนีพื้นที่ใบในรอบปีและผลผลิตน้ำยางจาก 7 สวนยางพารา ใน 7 จังหวัดคือ 1) อ. พุนพิน จ. สุราษฎร์ธานี 2) อ. พระพรหม จ. นครศรีธรรมราช 3) อ. เมืองพัทลุง จ. พัทลุง 4) อ. หาดใหญ่ จ. สงขลา 5) อ. ย่านตาขาว จ. ตรัง 6) อ. เหนือคลอง จ. ยะลา และ 7) อ. ตะ瓜่ป่า จ. พังงา ได้ทำการประเมินการเปลี่ยนแปลงดัชนีพื้นที่ใบในรอบปี และเก็บผลผลิตในรอบปี วิเคราะห์ความสัมพันธ์ระหว่างผลผลิตยางพาราและค่า E-P ของภาคใต้ผ่านอ่าวไทย ความสัมพันธ์ระหว่างผลผลิตยางพาราและค่า E-P ของภาคใต้ผ่านอ่าวไทยและอันดามัน รวมไปถึงประเมินความสัมพันธ์ระหว่างดัชนีพื้นที่ใบกับผลผลิตยางพาราภาคใต้ผ่านอ่าวไทย ภาคใต้ผ่านอันดามัน และรวมภาคใต้ผ่านอ่าวไทยกับผ่านอันดามัน เก็บข้อมูลการเกิดโรคในรอบปี ได้แก่ โรคราแป้ง โรคไฟophobia โรคใบจุด และการประเมินดัชนีความรุนแรงของโรค นอกจากนี้ มีการบันทึกการระบาดของโรค รายงานไข้ในจังหวัดที่ทำการศึกษา

### 3.3.5 ข้อมูลความเสียหายของสวนยางพารารายบุคคลในจังหวัดพัทลุง

ข้อมูลความเสียหายของสวนยางพารารายบุคคล ได้ถูกรวบรวมจากสำนักงานกองทุนส่งเสริมการทำการสวนยางใน 4 สำนักงาน ครอบคลุมพื้นที่ 11 อำเภอ ของ จ.พัทลุง ประกอบด้วย (1) สำนักงานอำเภอเมือง ครอบคลุมพื้นที่ อ.เมือง อ.กงหารา อ.ศรีนคินทร์ (2) สำนักงานอำเภอบางแก้ว ครอบคลุมพื้นที่ อ.บางแก้ว อ.เข้าชัยสน อ.ตะโหมด (3) สำนักงานอำเภอวนชุม ครอบคลุมพื้นที่ อ.วนชุม อ.ป่าพะยอม อ.ศรีบรรพต (4) สำนักงานอำเภอป่าบ่อน ครอบคลุมพื้นที่ อ.ป่าบ่อน อ.ปากพะยูน ทั้งนี้ ข้อมูลที่ได้รวบรวม เป็นข้อมูลที่ถูกบันทึกในแบบคำอธิบายของรับความช่วยเหลือเกษตรกรผู้ประสบอุทกภัยและดินถล่ม และแบบรายงานผลสำรวจความเสียหายเกษตรกรผู้ประสบอุทกภัยและดินถล่ม

ข้อมูลความเสียหายของสวนยางพารารายบุคคล เป็นข้อมูลที่ถูกบันทึกในช่วงที่เกิดเหตุการณ์ อุทกภัยครั้งใหญ่ในเดือนพฤษภาคม ปี พ.ศ. 2553 และเหตุการณ์ปลายเดือนมีนาคม-ต้นเดือนเมษายน ปี พ.ศ. 2554 ซึ่งข้อมูลที่รวมเป็นข้อมูลรายบุคคล เจ้าของสวนยางพาราเป็นผู้ดำเนินการแจ้งขอความช่วยเหลือในแบบคำร้องต่อเจ้าหน้าที่กองทุนสงเคราะห์การทำสวนยาง และเจ้าหน้าที่ฯ เป็นผู้เข้าไปตรวจสอบความเสียหายในพื้นที่สวนยางพารา พร้อมทั้งบันทึกข้อมูลสวนยางพาราเสียหายลงในแบบรายงานผลสำรวจความเสียหายเกษตรกรผู้ประสบอุทกภัยและดินถล่ม โดยข้อมูลที่รวมมีรายละเอียดดังนี้

1. ปีที่เกิดเหตุการณ์อุทกภัย วัตถุภัย และดินโคลนถล่ม (ปี พ.ศ.)
2. ที่อยู่/เจ้าของสวนยางพารา ตามบัตรประชาชน (บ้านเลขที่ หมู่ ตำบล อำเภอ)
3. ที่ดังสวนยางพารา (บ้าน หมู่ ตำบล อำเภอ)
4. ข้อมูลสวนยางพาราเสียหาย (เนื้อที่/ไร่ จำนวนตันที่ปลูก/ตัน อายุ/ปี/เดือน)

#### 4.1 สวนอยู่ระหว่างการส่งเคราะห์

- เสียหายเสียสภาพสวนทั้งแปลง (ไร่)
- เสียหายเสียสภาพสวนบางส่วน (ไร่)
- เสียหายไม่เสียสภาพสวน (ตัน)
- ปลูกซ่อม/ค้ำยัน (ตัน)
- ปลูกซ่อมไม่ได้ (ตัน)

#### 4.2 สวนยางเปิดกรีดแล้ว

- เนื้อที่ (ไร่)
- จำนวน (ตัน)
- เสียหายเสียสภาพสวนทั้งแปลง (ไร่)
- เสียหายเสียสภาพสวนบางส่วน (ไร่)
- เสียหายไม่เสียสภาพสวน (ตัน)
- ยกค้ำยัน (ตัน)
- ยกค้ำยันไม่ได้ (ตัน)

#### 4.3 สวนยางปลูกเองยังไม่เปิดกรีด / สวนยางพื้นสงเคราะห์ยังไม่เปิดกรีด

- เนื้อที่ (ไร่)
- จำนวน (ตัน)
- อายุ (ปี/เดือน)
- เสียหายเสียสภาพสวนทั้งแปลง (ไร่)
- เสียหายเสียสภาพสวนบางส่วน (ไร่)
- เสียหายไม่เสียสภาพสวน (ตัน)
- ปลูกซ่อม (ตัน)
- ยกค้ำยัน (ตัน)
- เสียหายไม่เสียสภาพสวน/ปลูกซ่อมค้ำยันไม่ได้ (ตัน)

#### 5. จำนวนเงินชดเชย (บาท)

ขั้นตอนการรวบรวมข้อมูล ประกอบด้วย การคัดลอกข้อมูลใน 5 ประเด็นข้างต้นจากแบบรายงานผลสำรวจความเสียหายเกษตรกรผู้ประสบอุทกภัยและดินถล่ม จากสำนักงานกองทุนสงเคราะห์การ赈灾援民ทั้ง 4 สำนักงาน จำนวนทั้งสิ้น 14,242 ชุด (รายบุคคล) และตรวจสอบคุณภาพข้อมูลเพื่อตรวจสอบความคลาดเคลื่อนและความสอดคล้องรวมทั้งความสมเหตุสมผลของข้อมูล ก่อนนำไปทำการวิเคราะห์ความเสียหายเชิงพื้นที่ของสวนยางพารา รวมถึงขั้นตอนการวิเคราะห์ข้อมูลต่างๆ มีรายละเอียดในหัวข้อ 3.4.3 วิธีการและเทคนิควิเคราะห์ข้อมูล

### 3.4 วิธีการและเทคนิคการวิเคราะห์ข้อมูล

#### 3.4.1 กิจกรรมที่ 1 การวิเคราะห์ความแปรปรวนของตัวแปรภูมิอากาศในภาคใต้ที่เข้มโยงกับโหมดภูมิอากาศที่สำคัญระดับภูมิภาคและความสัมพันธ์กับผลผลิตยางพารา

สำหรับกิจกรรมที่ 1 เทคนิคทางสถิติพหุเชิงพรรณนา (descriptive multivariate statistic) หลายเทคนิค นำมาประยุกต์ใช้เพื่อวิเคราะห์ความแปรปรวนเชิงพื้นที่และความแปรปรวนเชิงเวลาในคาบเวลาตั้งแต่ ณูกาลถึงระหว่างปี ตลอดจนสกัดลักษณะความแปรปรวนที่โดดเด่น เพื่อนำไปวิเคราะห์ความสัมพันธ์และความเชื่อมโยงกับโหมดภูมิอากาศที่สำคัญในภูมิภาคอินโด-แปซิฟิก รวมทั้งหาความสัมพันธ์ในลักษณะเชิงช้อน และ Non-linear ระหว่างความแปรปรวนของตัวแปรภูมิอากาศและผลผลิตยางพาราในรอบปี ซึ่งเทคนิคทางสถิติพหุเชิงพรรณนา ที่นำมาประยุกต์ใช้ในการวิเคราะห์ข้อมูล ประกอบด้วย

##### 1. เทคนิคฟังก์ชันตั้งฉากเชิงประจักษ์ (Empirical Orthogonal Function; EOF)

เทคนิค EOF มีหลักการบนพื้นฐานการสกัดและแยกฐานข้อมูลขนาดใหญ่ให้อยู่ในรูปฟังก์ชันพื้นฐานของ Orthogonal (Eigenvalue/Eigenvector) ด้วยการแปลงเชิงเส้นตรง เพื่อลดมิติของจำนวนตัวแปรให้เหลือจำนวนน้อยลง แต่สามารถอธิบายความแปรปรวนส่วนใหญ่ในฐานข้อมูลเดิม (Preisendorfer, 1988; Hannachi et al., 2007) โดย EOF ของเมตริกซ์ข้อมูล  $F(t, x)$  สำหรับตัวแปร  $t$  ( $t = t_1, t_2, t_3, \dots, t_n$ ) ที่ตำแหน่ง  $x$  ( $x_1, x_2, x_3, \dots, x_p$ ) สามารถแสดงในสมการที่ 5

$$F(t, x) = \sum_{j=1}^p a_j(t) u_j(x), \quad (5)$$

โดยที่  $p =$ จำนวนโหมดของ  $u(x)$  ส่วน  $a_j(t) =$  Principal score ในโหมด  $j$  สำหรับ  $a_1 u_1 =$  ผลรวมเชิงเส้นโหมดที่ 1 ของเมตริกซ์  $F$  ที่มีความแปรปรวนสูงสุด ในขณะที่  $a_2 u_2 =$  ผลรวมเชิงเส้นโหมดที่ 2 ของเมตริกซ์  $F$  ที่มีความแปรปรวนเป็นลำดับที่ 2 ทั้งนี้ แต่ละโหมดที่ถูกสกัดออกจากฐานข้อมูลเดิม เป็นอิสระตอกันหรือมีคุณสมบัติ Orthogonality ซึ่งผลรวมความแปรปรวนในแต่ละโหมด จะเท่ากับความแปรปรวนในฐานข้อมูลเดิม โดยปกติ ความแปรปรวนส่วนใหญ่ มักปรากฏอยู่ในโหมดแรก ๆ ของ EOF (Preisendorfer, 1988; Jolliffe, 2002; Hannachi et al., 2007) วิธี EOF คำนวณจากเมตริกซ์ความแปรปรวนร่วม (Covariance matrix) ของฐานข้อมูลเดิม เพื่อจำแนกข้อมูลเดิมออกเป็นค่า Eigenvalue, Eigenvector และ Principal score สมการสำหรับการวิเคราะห์ PCA สรุปได้ดังนี้

$$Z^*E = E^*L \text{ หรือ } (Z-L)^*E = 0 \quad (6)$$

$$A = Z^*E \quad (7)$$

$$E^* E^T = E^T * E = I \quad (8)$$

$$A^T * A = L \quad (9)$$

โดยที่  $Z$  = เมตริกซ์ขนาด  $n \times p$  โดย  $n$ =เวลา และ  $p$ =สถานีทั้งหมด

$E$  = เมตริกซ์ของ Eigenvector ขนาด  $p \times p$

$L$  = เมตริกซ์ท้ายของ Eigenvalue ขนาด  $p \times p$  โดยตำแหน่ง Off-diagonal มีค่าเป็นศูนย์

$A$  = เมตริกซ์ของ Principal score ขนาด  $p \times p$

$I$  = เมตริกซ์ท้ายที่ตำแหน่ง Diagonal มีค่าเป็นหนึ่ง ในขณะที่ ตำแหน่ง Off-diagonal มีค่าเป็นศูนย์

## 2. พังก์ชันไฮโนนิค (Harmonic function)

พังก์ชันไฮโนนิค เป็นเทคนิคที่นิยมนำมาวิเคราะห์ความแปรปรวนที่เกิดขึ้นช้าในควบเวลาโดยอธิบายความแปรปรวนที่เกิดขึ้นช้าในรูปของ Sine และ Cosine function เพื่อแสดงถึงแอมพลิจูดและเฟส ตัวอย่างเช่น พังก์ชันไฮโนนิค ถูกนำมาประยุกต์ใช้วิเคราะห์แอมพลิจูดและเฟสของวงจรรอบวัน และน้อยกว่าหนึ่งวันของฝน (Diurnal/Semidiurnal cycle) (Dai et al., 2007; Roy and Balling, 2007; Yin et al., 2009) ซึ่งพังก์ชันไฮโนนิค ได้ถูกอธิบายโดย Wilks (2006) ดังนี้

$$y_t = \bar{y} + \sum_{k=1}^{n/2} \left\{ C_k \cos\left(\frac{2\pi k t}{T} - \phi_k\right) \right\}, \quad (10)$$

$$y_t = \bar{y} + \sum_{k=1}^{n/2} \left\{ A_k \cos\left(\frac{2\pi k t}{T}\right) + B_k \sin\left(\frac{2\pi k t}{T}\right) \right\}, \quad (11)$$

ในขณะที่  $y_t$  = ข้อมูลค่าเฉลี่ยในระยะเวลาของหยาดน้ำฟ้า ณ เวลา  $t$ ,  $\bar{y}$  = ค่าเฉลี่ย,  $n$  = จำนวนข้อมูลในรอบวัน,  $C$  = แอมพลิจูด,  $T$  = ควบเวลา,  $\phi$  = เฟส,  $k$  = ลำดับของพังก์ชันไฮโนนิค,  $A$  และ  $B$  = พารามิเตอร์ของพังก์ชันไฮโนนิค ทั้งนี้  $A, B, C$  และ  $\phi$  ในแต่ละลำดับของพังก์ชันไฮโนนิค สามารถประมาณได้จาก

$$A_k = \frac{2}{n} \sum_{t=1}^n y_t \cos\left(\frac{2\pi k t}{T}\right), \quad (12)$$

$$B_k = \frac{2}{n} \sum_{t=1}^n y_t \sin\left(\frac{2\pi k t}{T}\right), \quad (13)$$

$$C_k = [A_k^2 + B_k^2]^{1/2}, \quad (14)$$

$$\phi_k = \begin{cases} \tan^{-1}(B_k / A_k), & A_k > 0 \\ \tan^{-1}(B_k / A_k) \pm \pi, & A_k < 0 \\ \pi/2, & A_k = 0 \end{cases} \quad (15)$$

เพื่อของฟังก์ชันอย่าโมนิก จะสอดคล้องกับเวลาที่ยอมพลิจูดมีค่าสูงสุด ดังนี้

$$t_{\max} = \phi_k \frac{T}{2\pi k}, \quad (16)$$

ส่วนสัดส่วนของความแปรปรวนที่สามารถอธิบายได้ด้วยฟังก์ชันอย่าโมนิกแต่ละลำดับ คำนวณได้ดังนี้

$$R_k^2 = \frac{\frac{n}{2} C_k^2}{(n-1) S_y^2}, \quad (17)$$

### 3. Kendall's tau correlation ( $\tau$ )

เป็นเทคนิคทางสถิติแบบอนพารามิตริก (Non-parametric) ที่ใช้วิเคราะห์ระดับความสัมพันธ์ระหว่างสองตัวแปร ซึ่งความสัมพันธ์ถูกวิเคราะห์บนพื้นฐานของชุดข้อมูลที่ได้จัดเรียงลำดับ (Rank) เช่นเดียวกับ Spearman's rank correlation (Kendall, 1990) สมการที่ 18 ใช้คำนวณสัมประสิทธิ์ของ Kendall's tau correlation

$$\tau = \frac{C - D}{C + D} = \frac{C - D}{\frac{n \cdot (n-1)}{2}} = \frac{C - D}{\binom{n}{2}} = \frac{C - D}{\frac{n!}{2!(n-2)!}} \quad (18)$$

โดยที่  $C$  = Concordant pairs (rank ของตัวแปรที่สองมากกว่า rank ของตัวแปรก่อนหน้านี้)

$D$  = Discordant pairs (rank เท่ากับหรือน้อยกว่า rank ของตัวแปรแรก)

Kendall's tau correlation มักถูกแปลผลในบริบทของความน่าจะเป็นระหว่าง Concordant และ Discordant pairs ซึ่งค่อนข้างแตกต่างจาก Pearson และ Spearman correlation สัมประสิทธิ์ของ Kendall's tau correlation มีค่าระหว่าง -1 ถึง 1 โดยที่ค่า  $\tau$  แสดงถึงระดับความสัมพันธ์เชิงเส้นตรงระหว่างสองตัวแปร

#### 4. Ordinary Least Square (OLS) regression

เป็นเทคนิคที่ใช้เคราะห์ความชันของเส้นตรง หรือรูจักกันในนามแనวน์การเปลี่ยนแปลงเชิงเส้นตรง (Linear trend) ที่ใช้ Fit ชุดข้อมูลด้วยสมการถดถอย (Linear regression) เพื่อหาความสัมพันธ์ระหว่างสองตัวแปร โดยเทคนิค OLS เลือกเฉพาะเส้นตรงที่ Fit ข้อมูลแล้ว ทำให้ผลรวมของ Squared error มีค่าน้อยที่สุด (Wilks, 2006) สำหรับชุดข้อมูล  $(x_i, y_i)$  เส้นตรงที่ใช้ Fit ข้อมูลแล้ว ทำให้ Squared ของเส้นแนวตั้งระหว่างเส้นตรงและจุดของข้อมูลมีค่าน้อย ได้ดังนี้

$$\hat{y} = a + bx, \quad (19)$$

รูปที่ 3.7 แสดงระยะทางตามแนวตั้งระหว่างจุดข้อมูลและเส้นตรง หรือค่า Error (Residual) ซึ่งนิยามได้ดังนี้

$$e_i = y_i - \hat{y}(x_i). \quad (20)$$

ทั้งนี้ เมื่อร่วมสมการที่ 19 และ 20 เข้าด้วยกันแล้ว ได้สมการถดถอย ดังแสดงในสมการที่ 21

$$y_i = y_i + e_i = a + bx_i + e_i, \quad (21)$$

ซึ่งอาจกล่าวได้ว่า ค่าที่แท้จริงของ Predictand คือ ผลรวมของค่าพยากรณ์ (19) และค่า Error ดังนั้น ค่า Intercept ( $a$ ) และ Slope ( $b$ ) สามารถประมาณ เพื่อให้ผลรวมของ Squared residual มีค่าน้อยที่สุด ได้ดังนี้

$$\sum_{i=1}^n (e_i)^2 = \sum_{i=1}^n (y_i - \hat{y}_i)^2 = \sum_{i=1}^n (y_i - [a + bx_i])^2, \quad (22)$$

ขั้นตอนต่อไป เป็นการแก้ปัญหาในเชิงแคลคูลัส (Calculus) เพื่อลด Residual ให้น้อยที่สุดของสองตัวแปรของสมการถดถอย คือ  $a$  และ  $b$  โดยการประยุกต์ใช้ Differential calculus เพื่อคำนวณค่า  $a$  และ  $b$  จากอนุพันธ์ (Derivative) ของสมการที่ 22 ในกรณีที่ทั้งสองค่าถูกกำหนดให้มีค่าเป็นศูนย์ ทั้งนี้ อนุพันธ์ของสมการที่ 22 สำหรับตัวแปร  $a$  และ  $b$  ที่ทราบค่า คือ

$$\frac{\partial \sum_{i=1}^n (e_i)^2}{\partial a} = \frac{\partial \sum_{i=1}^n (y_i - a - bx_i)^2}{\partial a} = -2 \sum_{i=1}^n (y_i - a - bx_i) = 0 \quad (23)$$

และ

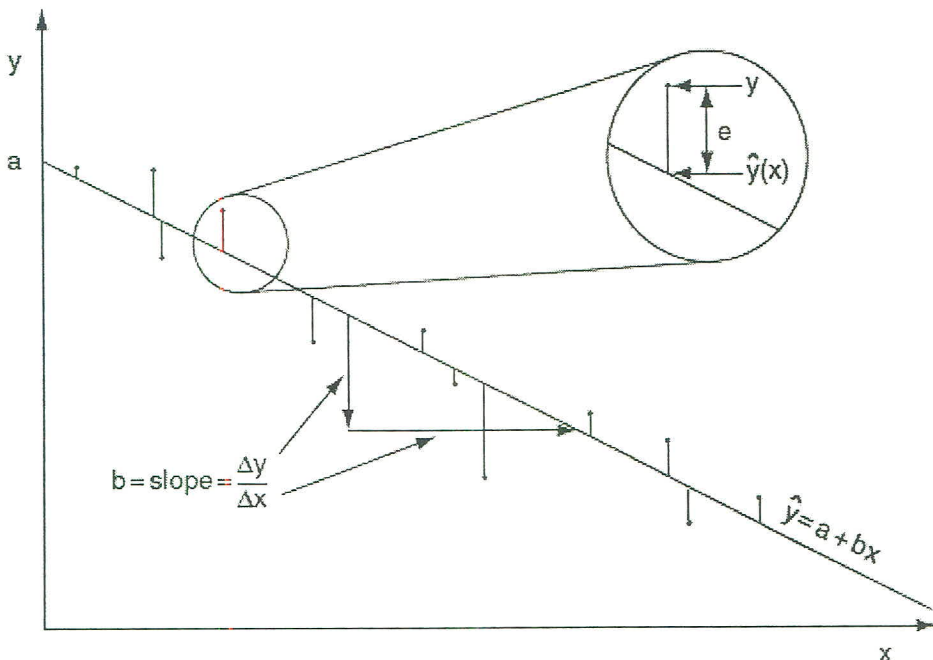
$$\frac{\partial \sum_{i=1}^n (e_i)^2}{\partial b} = \frac{\partial \sum_{i=1}^n (y_i - a - bx_i)^2}{\partial b} = -2 \sum_{i=1}^n [x_i(y_i - a - bx_i)] = 0. \quad (24)$$

ขั้นตอนสุดท้าย เป็นการประมาณค่า  $a$  และ  $b$  ด้วย

$$b = \frac{\sum_{i=1}^n [(x_i - \bar{x})(y_i - \bar{y})]}{\sum_{i=1}^n (x_i - \bar{x})^2} = \frac{n \sum_{i=1}^n x_i y_i - \sum_{i=1}^n x_i \sum_{i=1}^n y_i}{n \sum_{i=1}^n (x_i)^2 - \left( \sum_{i=1}^n x_i \right)^2} \quad (25)$$

และ

$$a = \bar{y} - b\bar{x}. \quad (26)$$



รูปที่ 3.7 แสดงสมการหาโดยใช้เส้นตรงอย่างง่าย ซึ่ง  $\hat{y} = a + bx$  ถูกคัดเลือกเพื่อลดความแตกต่าง (Residual;  $e$ ) ระหว่างเส้นตรงและจุดข้อมูล ทั้งนี้ OLS regression เป็นเทคนิคที่ใช้เคราะห์ผลรวมของ Squared ของเส้นแนวเดียวระหว่างเส้นตรงและจุดของข้อมูล

## 5. ดัชนีสภาวะความรุนแรงของภูมิอากาศ (Extreme climate index)

ดัชนีสภาวะความรุนแรงของภูมิอากาศที่นิยามและเสนอแนะโดย Joint World Meteorological Organization (WMO) Commission for Climatology (CCI)/World Climate Research Program (WCRP) Climate Variability and Predictability (CLIVAR) Project's Expert Team on Climate Change Detection, Monitoring and Indices (ETCCDMI) (Perterson, 2005) ถูกนำมาประยุกต์ใช้เพื่อคำนวณดัชนีสภาวะความรุนแรงของอุณหภูมิ และฝนของข้อมูลที่ตรวจวัดจากสถานีผิวน้ำและข้อมูลดาวเทียม TRMM ประกอบด้วย ดัชนีสำหรับสภาวะความรุนแรงของอุณหภูมิ 11 ดัชนี (ตารางที่ 3.4) ดัชนีสำหรับสภาวะความรุนแรงของฝน 8 ดัชนี (ตารางที่ 3.5) ซึ่งดัชนีทั้งหมดดังกล่าว ถูกคำนวณจากอนุกรมข้อมูลรายวัน เพื่อแสดงจำนวนเหตุการณ์สภาวะความรุนแรงของลมฟ้าอากาศในรูปแบบต่าง ๆ ในคาบเวลาหนึ่งปี (Annual time scale)

ตารางที่ 3.4 รายละเอียดของดัชนีสภาวะความรุนแรงของอุณหภูมิ

ID	Indicator name	Definitions	Units
1.	Tmax	Annual daily maximum (TX)	°C
2.	Tmean	Mean annual temperature	°C
3.	Tmin	Annual daily minimum (TN)	°C
4.	Warm days (TX90p)	Percentage of days when TX>90 <sup>th</sup> percentile	Days
5.	Warm nights (TN90p)	Percentage of days when TN>90 <sup>th</sup> percentile	Days
6.	Cool days (TX10p)	Percentage of days when TX<10 <sup>th</sup> percentile	Days
7.	Cool nights (TN10p)	Percentage of days when TN<10 <sup>th</sup> percentile	Days
8.	Cold spell duration indicator (CSDI)	Annual count of days with at least 6 consecutive days when TN<10 <sup>th</sup> percentile	Days
9.	Warm spell duration indicator (WSDI)	Annual count of days with at least 6 consecutive days when TX>90 <sup>th</sup> percentile	Days
10.	SU35	Annual count when TX >35°C	Days
11.	TR25	Annual count when TN >25°C	Days

### ตารางที่ 3.5 รายละเอียดของดัชนีสภาพความรุนแรงของฝน

ID	Indicator name	Definitions	Units
1.	PRCPTOT	Annual total rainfall in wet day (rainfall $\geq 1.0$ mm)	mm
2.	Annual total wet days (WETtot)	Annual count of days when rainfall $\geq 1.0$ mm	days
3.	Simple daily intensity index (SDII)	Annual total rainfall divided by the number of wet days (defined as rainfall $\geq 1.0$ mm) in the year	Mm/day
4.	Very wet days (R95p)	Annual total rainfall when rainfall $> 95^{\text{th}}$ percentile	mm
5.	Max 5-day rainfall amount (RX5day)	Monthly maximum consecutive 5-day rainfall	mm
6.	Number of heavy rainfall days (R10)	Annual count of days when rainfall $\geq 1.0$ mm	days
7.	Consecutive wet days (CWD)	Maximum number of consecutive days with rainfall $\geq 1.0$ mm	days
8.	Consecutive dry days (CDD)	Maximum number of consecutive days with rainfall $< 1$ mm	days

### 6. ดัชนีภูมิอากาศ (Extreme climate index)

การศึกษานี้ใช้ดัชนีปริมาณการณ์เงินโถ่และดัชนีมรสุมเอเชีย จำนวน 7 ดัชนี เพื่อหาความสัมพันธ์กับตัวแปรภูมิอากาศและผลผลิตทางพาราในภาคใต้ ซึ่งแต่ละดัชนีมีรายละเอียดดังนี้

(1) Multivariate ENSO Index (MEI) เป็นดัชนีที่คำนวณจากข้อมูล Sea-level pressure (P), Zonal wind component (U), Meridional wind component (V), Sea surface temperature (S), Near-surface temperature (A) และ Cloudiness fraction of the sky (C) ในบริเวณเส้นศูนย์สูตรของมหาสมุทรแปซิฟิก (รูปที่ 3.8) ด้วยเทคนิค Principal Component Analysis (PCA) โดยดัชนี MEI คือ Leading PCA mode ของทั้ง 6 ตัวแปร (Wolter and Timlin, 1993, 1998) ค่าบวกและลบของดัชนี MEI บ่งชี้ถึงแนวโน้มการเกิดเหตุการณ์ El Niño และเหตุการณ์ La Niña ตามลำดับ (รูปที่ 3.9)

(2) Southern Oscillation Index (SOI) เป็นดัชนีที่ใช้ติดตามการเปลี่ยนแปลงควบคู่ระหว่างมหาสมุทรและชั้นบรรยากาศในบริเวณเส้นศูนย์สูตรของมหาสมุทรแปซิฟิกและความผันแปรของชีกโลกให้ โดยได้คำนวณจากข้อมูล Sea-level pressure ระหว่างสถานี Darwin ทางตอนเหนือของประเทศไทยและสถานี Tahiti ในตอนกลางของมหาสมุทรแปซิฟิก (รูปที่ 3.10) ค่าความต่างของความดันระดับน้ำทะเลระหว่าง Tahiti และ Darwin ที่สำคัญกว่าค่าปกติ จะสอดคล้องกับการเกิดเหตุการณ์ El Niño และ La Niña ตามลำดับ (รูปที่ 3.11) (<http://www.cgd.ucar.edu/cas/catalog/climind/soiAnnual.html>)

(3) NIÑO3.4 เป็นดัชนีที่ใช้ติดตามการเปลี่ยนแปลงของอุณหภูมิผิวน้ำทะเลในบริเวณสีน้ำเงินสูตรซึ่งคำนวณจากข้อมูลอุณหภูมิผิวน้ำทะเลในบริเวณ  $5^{\circ}$  N- $5^{\circ}$  S และ  $120^{\circ}$  W- $170^{\circ}$  W (รูปที่ 3.12) ([http://www.cgd.ucar.edu/cas/catalog/climind/TNI\\_N34/](http://www.cgd.ucar.edu/cas/catalog/climind/TNI_N34/)) ค่าอุณหภูมิผิวน้ำทะเลที่สูงหรือต่ำกว่าปกติจะเป็นสัญญาณทางสมุทรศาสตร์บ่งชี้ถึงเหตุการณ์ El Niño และ La Niña ตามลำดับ (รูปที่ 3.13)

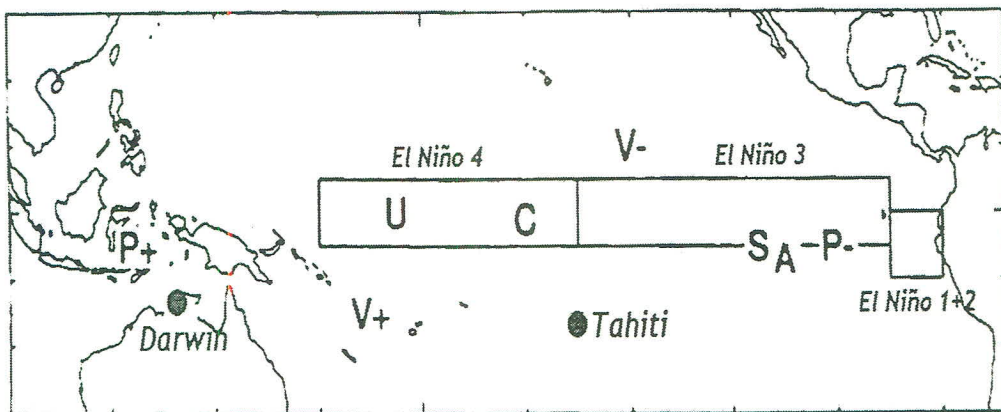
(4) Indian Summer Monsoon Index (ISMI) หรือดัชนีมรสุมฤดูร้อนอินเดีย เป็นดัชนีที่นิยามบนพื้นฐานผลต่างของลมตามแนวราบที่ระดับ 850-hPa ในพื้นที่ระหว่าง  $5^{\circ}$ - $15^{\circ}$  N,  $40^{\circ}$ - $80^{\circ}$  E และ  $20^{\circ}$ - $30^{\circ}$  N,  $70^{\circ}$ - $90^{\circ}$  E (Wang et al., 2001) (<http://iprc.soest.hawaii.edu/~ykaji/monsoon/definition.html>) (รูปที่ 3.14) ค่าเฉลี่ยของดัชนี ISMI ในช่วงเดือนมิถุนายนถึงเดือนกันยายนซึ่งตรงกับฤดูฝนในประเทศไทย ที่สูงหรือต่ำกว่าปกติ แสดงถึงปีนั้นๆ มรสุมฤดูร้อนอินเดียมีกำลังแรงหรืออ่อนกำลังกว่าปกติ ตามลำดับ (รูปที่ 3.15)

(5) Western North Pacific Summer Monsoon Index (WNPMI) หรือดัชนีมรสุมฤดูร้อนในมหาสมุทรแปซิฟิกเหนือฝั่งตะวันตก เป็นดัชนีนิยามบนพื้นฐานผลต่างของลมตามแนวราบที่ระดับ 850-hPa เช่นเดียวกับดัชนี ISMI แต่ในพื้นที่ระหว่าง  $5^{\circ}$ - $15^{\circ}$  N,  $100^{\circ}$ - $130^{\circ}$  E และ  $20^{\circ}$ - $30^{\circ}$  N,  $110^{\circ}$ - $140^{\circ}$  E (Wang et al., 2001) (<http://iprc.soest.hawaii.edu/~ykaji/monsoon/definition.html>) (รูปที่ 3.14) ค่าเฉลี่ยของดัชนี ISMI ในช่วงเดือนมิถุนายนถึงเดือนกันยายนซึ่งตรงกับฤดูฝนในประเทศไทย ที่สูงหรือต่ำกว่าปกติ แสดงถึงปีนั้นๆ มรสุมฤดูร้อนในมหาสมุทรแปซิฟิกเหนือฝั่งตะวันตก มีกำลังแรงหรืออ่อนกำลังกว่าปกติ ตามลำดับ (รูปที่ 3.16)

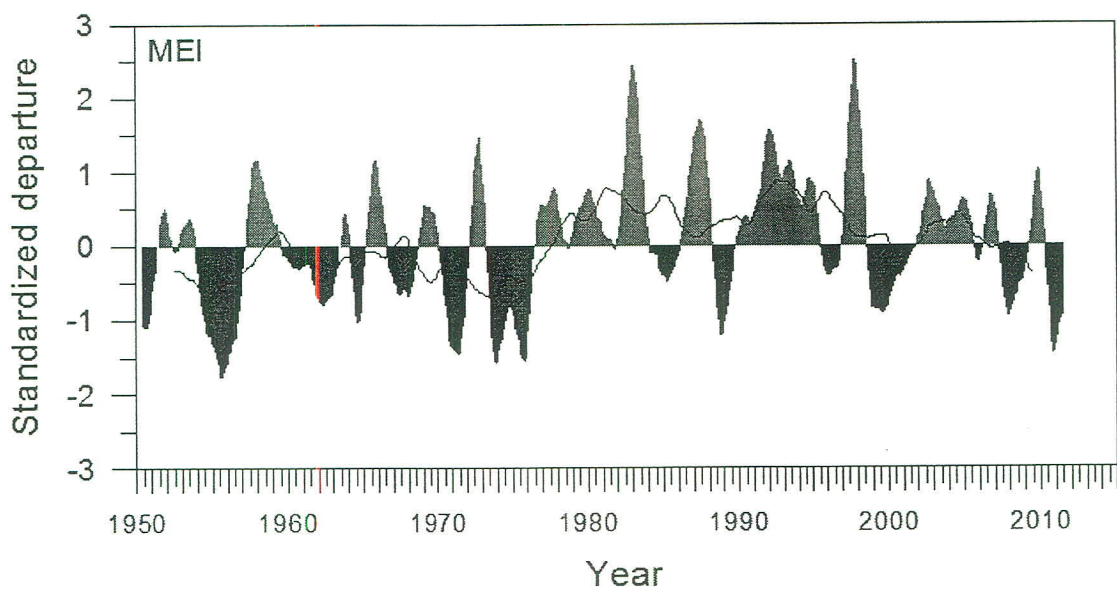
(6) East Asian Trough Intensity Index (EATII) เป็นดัชนีที่ใช้ติดตามความแรงของ East Asian Winter Monsoon ในช่วงฤดูหนาวของซีกโลกเหนือ (เดือนธันวาคมถึงเดือนกุมภาพันธ์) โดยดัชนี EATII ใช้อธิบายความแรงของ East Asian Trough ซึ่งโดยปกติแกนของร่องมรสุมฤดูหนาว วางตัวตามแนวตะวันตกเฉียงเหนือ-ตะวันออกเฉียงใต้ เหนือเส้นรุ่งที่ 50 องศาเหนือ และวางตัวตามแนวตะวันออกเฉียงเหนือ-ตะวันตกเฉียงใต้ ตอนล่างของเส้นรุ่งที่ 50 องศาเหนือ โดยดัชนี EATII คือ Time-varying amplitude ของ EOF โหมดที่ 1 ที่คำนวณจากข้อมูล Geopotential height ที่ระดับ 500-hPa ในพื้นที่  $25^{\circ}$ - $50^{\circ}$  N และ  $100^{\circ}$ - $180^{\circ}$  E (Wang et al., 2009) โดยค่าดัชนี EATII ที่สูงหรือต่ำกว่าปกติ แสดงถึงมรสุมฤดูหนาวในบริเวณเอเชียตะวันออก มีความแรงหรืออ่อนกำลังกว่าปกติ ตามลำดับ (รูปที่ 3.17)

(7) East Asian Trough Axis Index (EATAI) เป็นดัชนีที่อธิบายความแปรปรวนในแรงการเอียงของแกน East Asian Trough ในบริเวณ Mid-latitude โดยดัชนี EATAI มีค่าเป็นบวก แสดงถึงการเอียงของแกนเพียงเล็กน้อย ส่งผลให้เส้นทางของลมที่พัดไปยังทิศตะวันออกสู่มหาสมุทรแปซิฟิกมีกำลังแรง แต่เส้นทางของลมที่พัดไปยังทิศใต้มีกำลังอ่อนลง ในขณะที่ ดัชนี EATAI มีค่าเป็นลบ แสดงถึงแกนของ East Asian Trough มีลักษณะเอียงมาก ส่งผลให้เส้นทางของลมที่พัดไปยังทิศใต้มีกำลังแรงขึ้น แต่เส้นทางของลมที่พัดไปยังทิศตะวันออกสู่มหาสมุทรแปซิฟิกมีกำลังอ่อนลง (รูปที่ 3.18) โดยดัชนี EATAI คือ Time-varying amplitude ของ EOF โหมดที่ 2 ที่คำนวณจากข้อมูล Geopotential height ที่ 500-hPa ในพื้นที่  $25^{\circ}$ - $50^{\circ}$  N และ  $100^{\circ}$ - $180^{\circ}$  E (Wang et al., 2009)

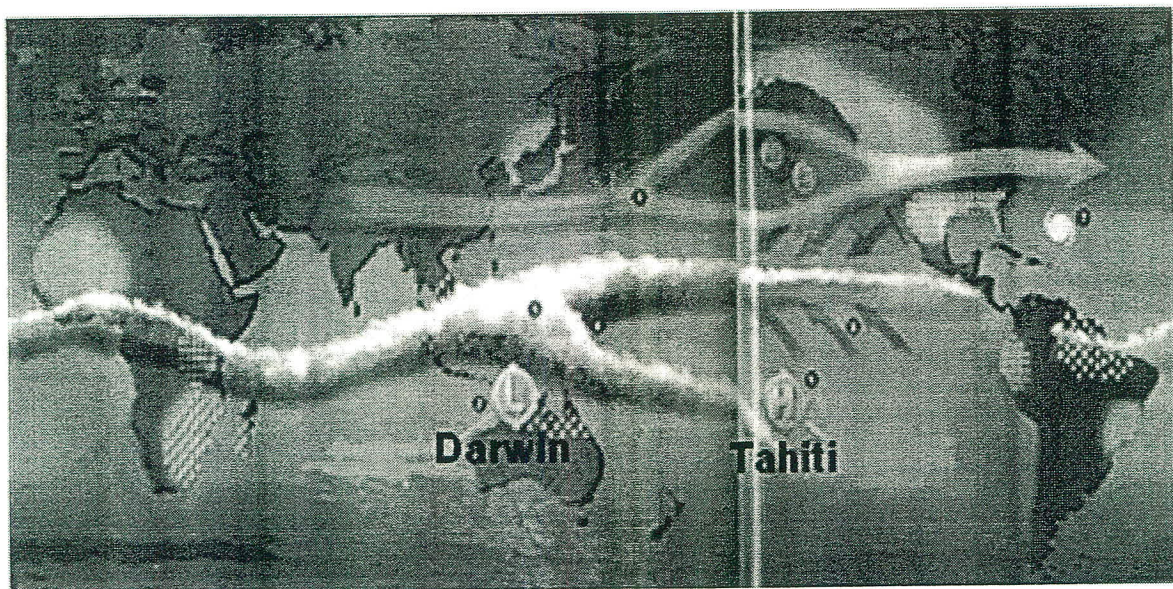
ทั้งนี้ รายละเอียดและขั้นตอนการศึกษาวิจัยของกิจกรรมที่ 1 ดังแสดงในรูปที่ 3.19



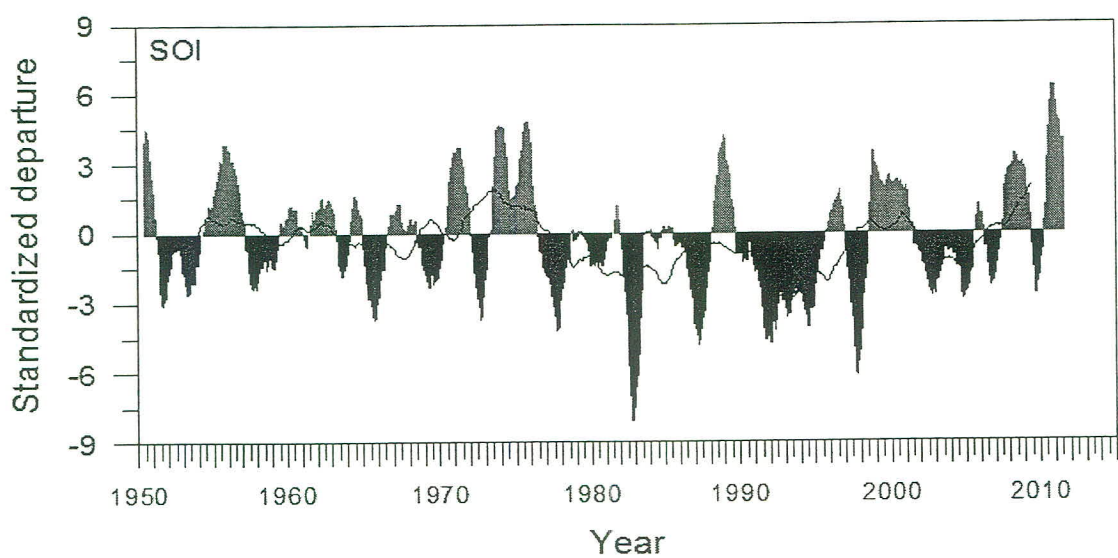
รูปที่ 3.8 แสดงโดยเมนของข้อมูล Sea-level pressure (P), Zonal wind component (U), Meridional wind component (V), Sea surface temperature (S), Near-surface temperature (A) และ Cloudiness fraction of the sky (C) ในบริเวณเส้นศูนย์สูตรของมหาสมุทรแปซิฟิกที่ใช้คำนวณดัชนี MEI



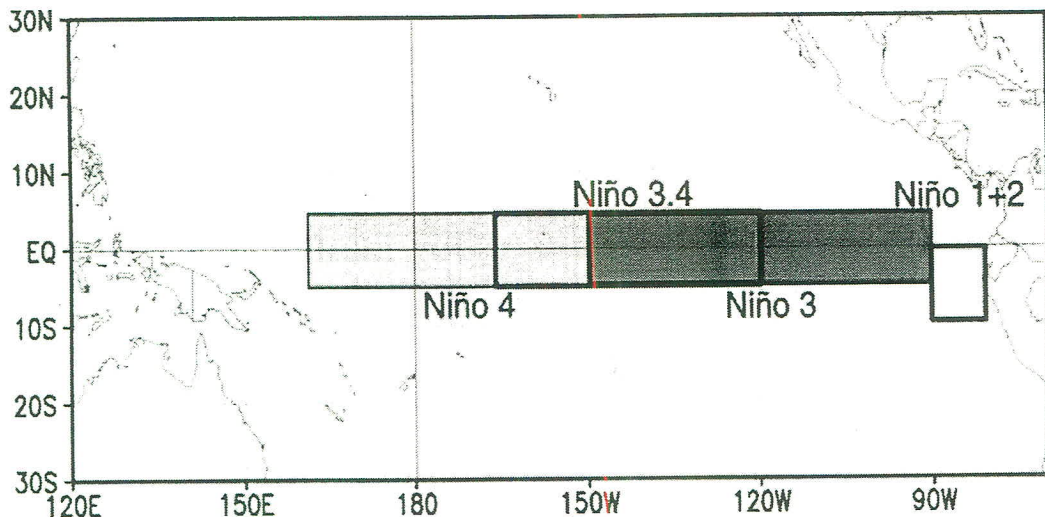
รูปที่ 3.9 ดัชนี MEI รายเดือน ระหว่างปี 1950 ถึง 2010 เส้นสีดำ แสดงค่าเฉลี่ยแบบเคลื่อนที่ในคาบเวลา 5 ปี



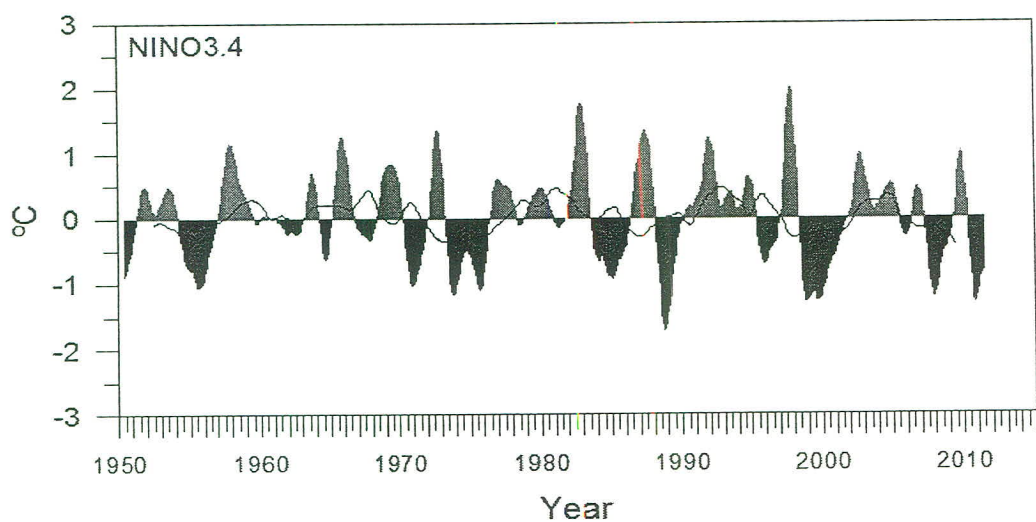
รูปที่ 3.10 แสดงสถานี Darwin ทางตอนเหนือของประเทศออสเตรเลียและสถานี Tahiti ในตอนกลางของมหาสมุทรแปซิฟิกใต้ที่ใช้ข้อมูล Sea-level pressure เพื่อคำนวณดัชนี SOI



รูปที่ 3.11 ดัชนี SOI รายเดือนระหว่างปี 1950 ถึง 2010 เส้นสีดำ แสดงค่าเฉลี่ยแบบเคลื่อนที่ในคาบเวลา 5 ปี

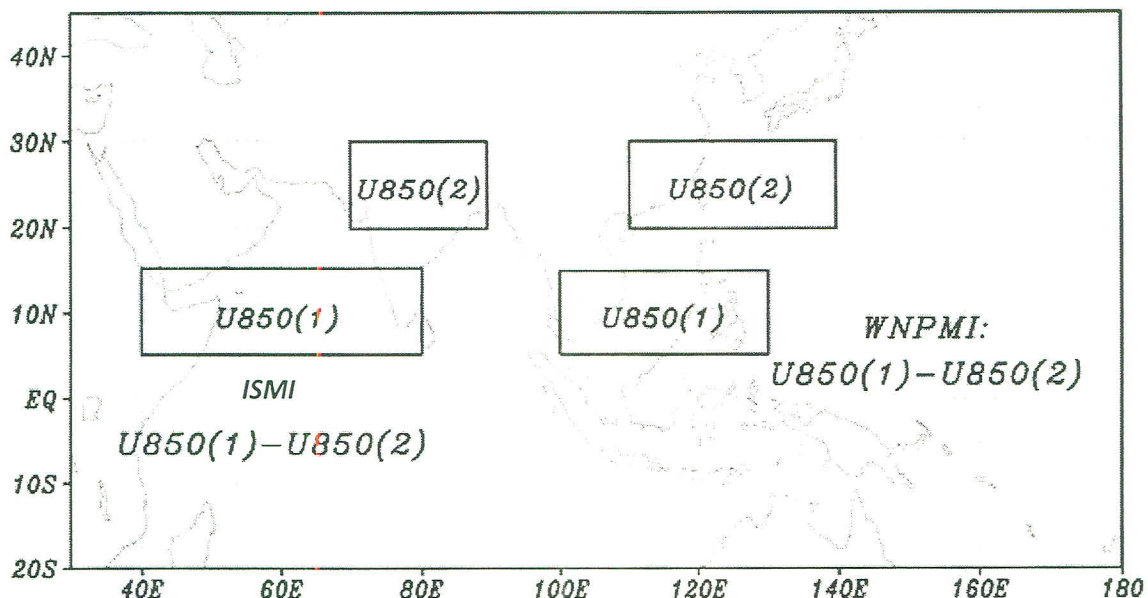


รูปที่ 3.12 แสดงโดเมนของข้อมูลอุณหภูมิผิวน้ำทะเลที่ใช้คำนวณดัชนี NIÑO3.4

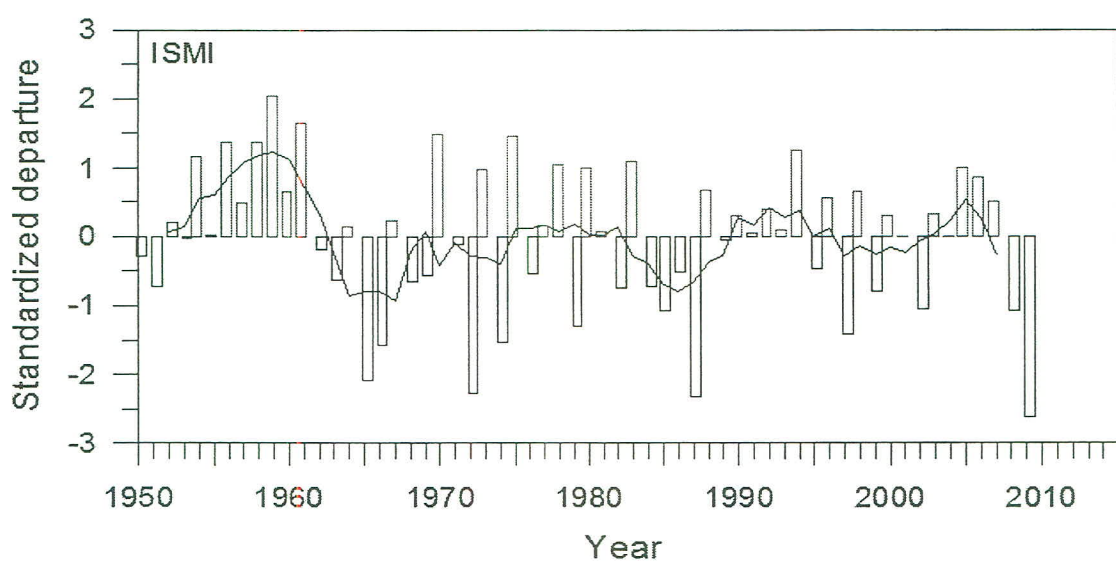


รูปที่ 3.13 ดัชนี NIÑO3.4 รายเดือนระหว่างปี 1950 ถึง 2010 เส้นสีดำ แสดงค่าเฉลี่ยแบบเคลื่อนที่ใน  
คาบเวลา 5 ปี

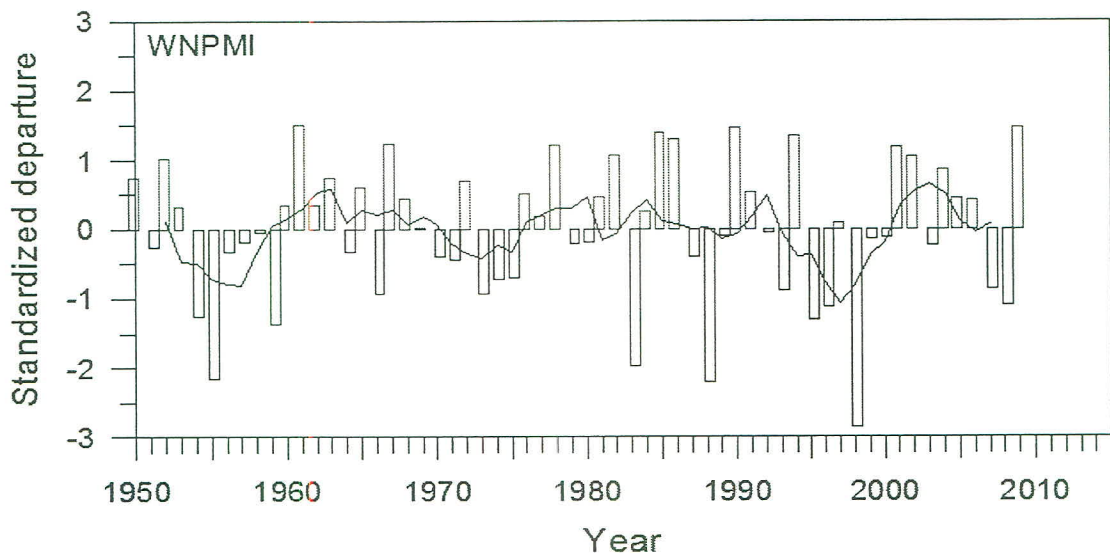
### Asian Summer Monsoon Indices



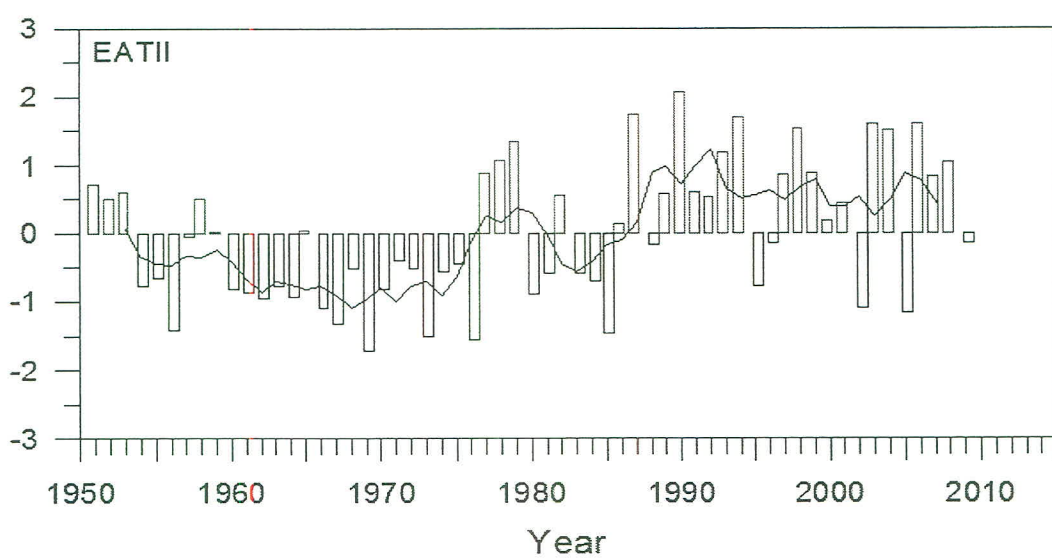
รูปที่ 3.14 แสดงโดเมนของข้อมูลมอนโซนราบที่ใช้คำนวณดังนี้ ISMI และ WNPMI



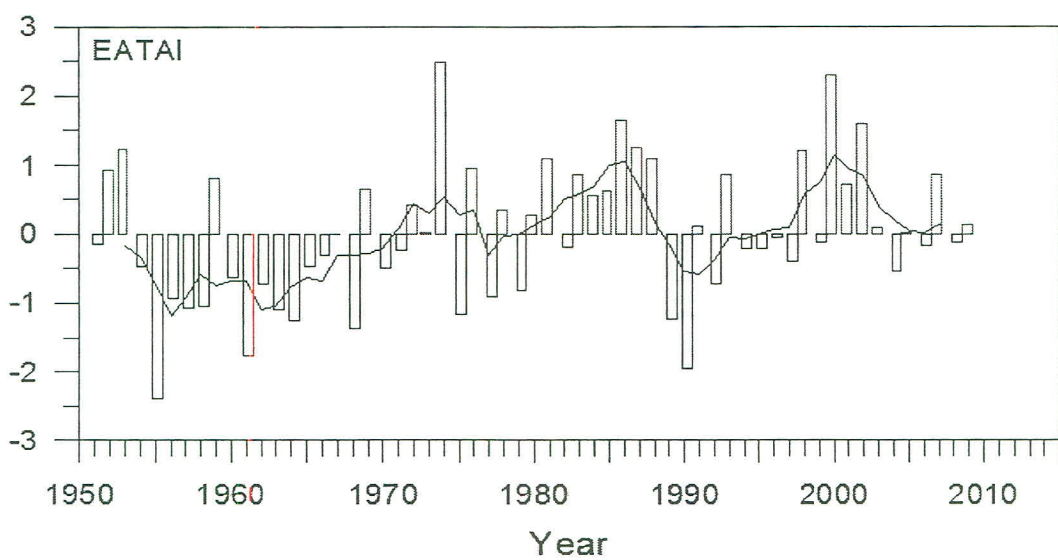
รูปที่ 3.15 ดัชนี ISMI ในช่วงเดือนมิถุนายนถึงเดือนกันยายน ระหว่างปี 1950 ถึง 2009 เส้นสีดำ แสดงค่าเฉลี่ยแบบเคลื่อนที่ในคาบเวลา 5 ปี



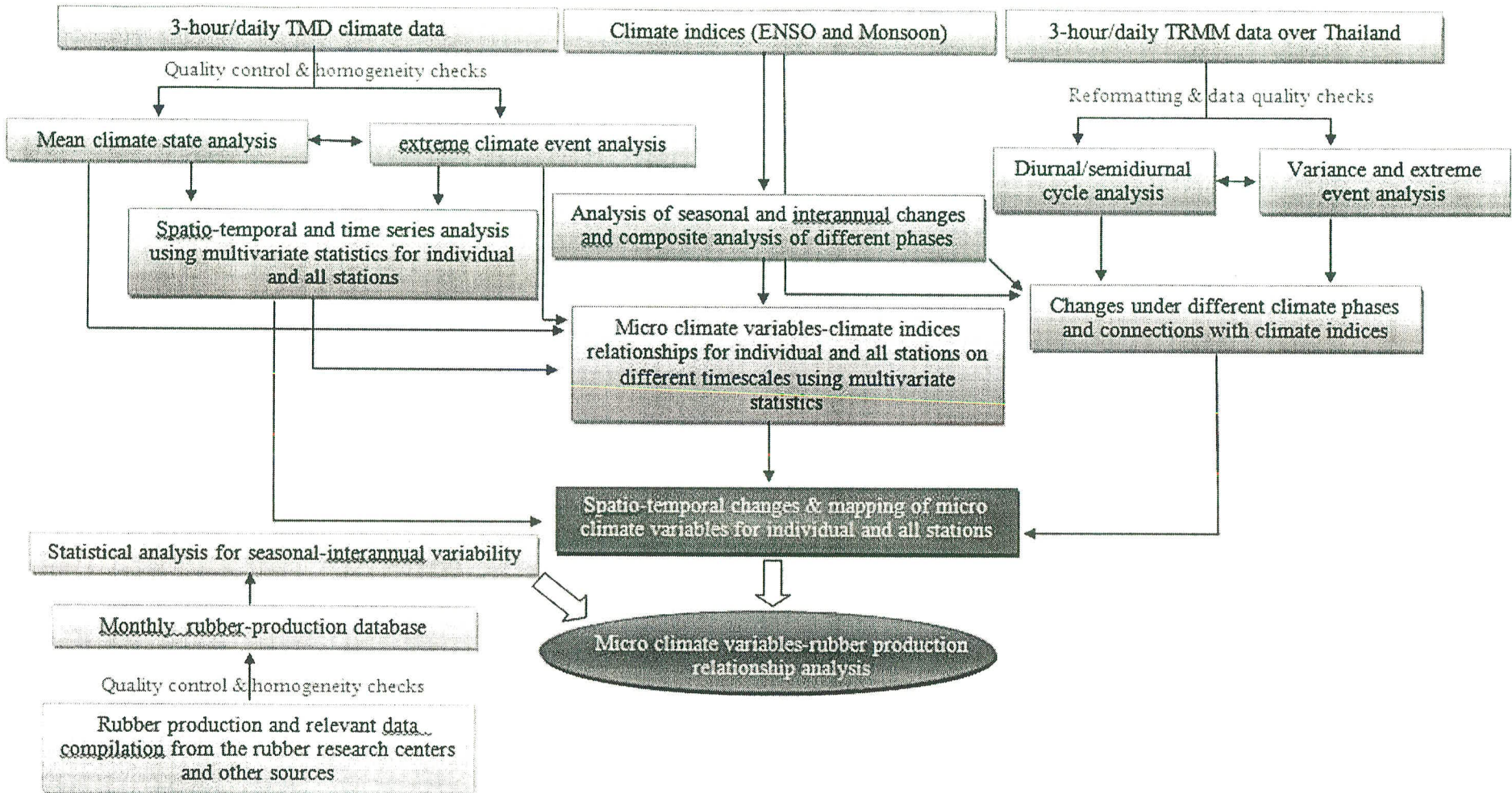
รูปที่ 3.16 ดัชนี WNPMI ในช่วงเดือนมิถุนายนถึงเดือนกันยายน ระหว่างปี 1950 ถึง 2009 เส้นสีดำ แสดงค่าเฉลี่ยแบบเคลื่อนที่ในcabเวลา 5 ปี



รูปที่ 3.17 ดัชนี EATII ในช่วงเดือนธันวาคมถึงเดือนกุมภาพันธ์ ระหว่างปี 1951 ถึง 2009 เส้นสีดำ แสดงค่าเฉลี่ยแบบเคลื่อนที่ในcabเวลา 5 ปี



รูปที่ 3.18 ดัชนี EATAI ในช่วงเดือนธันวาคมถึงเดือนกุมภาพันธ์ ระหว่างปี 1951 ถึง 2009 เส้นสีดำ แสดงค่าเฉลี่ยแบบเคลื่อนที่ในรอบเวลา 5 ปี



รูปที่ 3.19 แสดงรายละเอียดและขั้นตอนการศึกษาวิจัยของกิจกรรมที่ 1

### 3.4.2 กิจกรรมที่ 2 การศึกษาการตอบสนองทางสีริวิทยา ผลผลิตและคุณภาพของยางพาราต่อความประปรวนของลมฟ้าอากาศในรอบฤดูกาลและรอบปี

#### 1. วิธีการรวบรวมข้อมูลในพื้นที่นำร่อง

พื้นที่เก็บข้อมูลหลัก คือ จังหวัดสงขลา พัทลุง นครศรีธรรมราช สุราษฎร์ธานี พังงา ระดับ (รูปที่ 3.5 และตารางที่ 3.1) โดยเก็บข้อมูลจังหวัดละ 1 แปลงทดลอง รวมทั้งหมด 7 แปลงทดลอง ขนาดแปลงทดลองประมาณ 2 ไร่ ต่อสวน ที่ตั้งอยู่ห่างจากสถานีตรวจอากาศไม่เกิน 20 กิโลเมตร โดยพื้นที่ในการศึกษาดังกล่าวไว้ใช้พันธุ์ยางในการศึกษาคือ RRIM 600 อายุที่เปิดรีดแล้วระหว่าง 10-15 ปี ใช้ระบบกริดแบบ 1/3S 2d/3 (ตารางที่ 3.1) ทำการวัดข้อมูลเบื้องต้นของต้นยางพาราของทุกแปลงก่อนเริ่มทำการทดลอง คือ วัดเส้นรอบวงที่ระดับความสูง 170 เซนติเมตร จากพื้นดิน (รูป 3.20ก) โดยใช้ต้นยางพาราในแต่ละแปลงทดลองของแต่ละจังหวัด เพื่อเก็บข้อมูลดังต่อไปนี้

##### 1.1 ตำแหน่งที่ตั้ง และชุดดินของแปลงทดลอง

หาตำแหน่งที่ตั้งของแปลงทดลอง โดยการใช้เทคนิคการสำรวจข้อมูลระยะไกลจากเครื่อง GPS รุ่น Besta GPS Speed Navi รวมทั้งหาความลาดชันของแปลงทดลองโดยใช้เครื่องวัดความลาดเอียงของพื้นที่

##### 1.2 ข้อมูลปริมาณน้ำฝนและอุณหภูมิ

เก็บข้อมูลปริมาณน้ำฝนและอุณหภูมิรายเดือนในช่วงทำการทดลอง จากสถานีอุตุนิยมวิทยาสงขลา พัทลุง นครศรีธรรมราชพังงา ระดับ ตรัง ซึ่งอยู่ห่างจากพื้นที่ทดลองไม่เกิน 20 กิโลเมตร (รูปที่ 3.5)

#### 2. การตอบสนองทางสีริวิทยาของต้นยางในรอบปี

##### 2.1 ศึกษาการเปลี่ยนแปลงของดัชนีพื้นที่ใบ (Leaf area index: LAI)

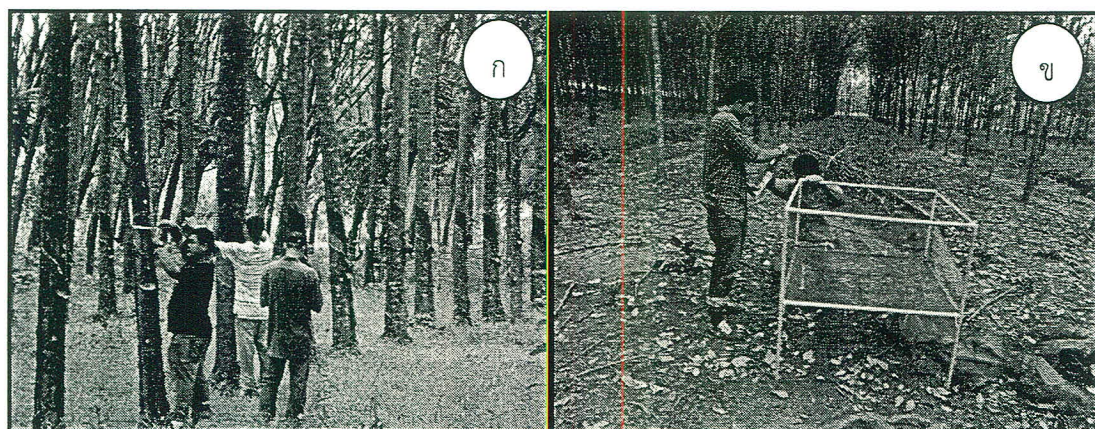
เนื่องจากยางพาราจะมีการผลัดใบในช่วงฤดูร้อน ประมาณเดือนกุมภาพันธ์ถึงเดือนมีนาคม จะมีการร่วงของใบและจากนั้นยางพาราจะมีการแตกใบใหม่ ดังนั้น จึงประเมินการเปลี่ยนแปลงของพื้นที่ใบ โดยการสร้างกราฟมาตรฐาน (Calibration curve) ประเมิน LAI ด้วยเทคนิคการถ่ายภาพด้วยเลนส์ตาปลา (เจษฎา โสภารัตน์ และคณะ, 2551) การสร้างกราฟมาตรฐานหรือสมการปรับความถูกต้องของความสัมพันธ์ระหว่างค่าจริงของ LAI และค่าจากการประมาณผลภาพที่ถ่ายด้วยเลนส์ตาปลา กำหนดให้ค่าจริงได้ จากการใช้วิธีการเก็บใบจากโครงตาก่อนว่างแลงเก็บข้อมูลพื้นที่ขนาด  $1 \times 1 \text{ m}^2$  วัดระยะปลูกและเส้น รอบวงของลำต้นที่ระดับ 1.70 เมตร จากพื้นดิน สูงติดตั้งโครงตาก่อนในพื้นที่แปลงศึกษาโดยวิธีสูมอย่างง่าย ใช้โครงตาก่อนขนาดพื้นที่รองรับ  $1 \text{ m}^2$  สวนละ 9 ชุด (รูปที่ 3.20ข) ทำการถ่ายภาพทรงพุ่มของยางพาราในพื้นที่ศึกษาด้วยเทคนิคการถ่ายภาพด้วยเลนส์ตาปลา โดยใช้โหมดการถ่ายภาพอัตโนมัติ (Sunset) ของกล้อง Nikon Coolpix 8400 สูมถ่ายภาพ ณ จุดที่ติดตั้งโครงตาก่อน ชั่วโมง 2 ภาพ (รูปที่ 3.21) ทำการถ่ายภาพช้าๆ ทุกสิ้นเดือนตลอดทั้งปีจนสิ้นสุดการผลัดใบ นำภาพที่ได้ไปวิเคราะห์ประมาณค่าเฉลี่ย LAI ด้วยโปรแกรมทางด้านการประมาณข้อมูลดัชนีพื้นที่ใบ GLA (Gap Light Analyzer) (รูปที่ 3.22) วิเคราะห์ค่าเฉลี่ยพื้นที่ใบต่อน้ำหนักแห้งจำเพาะของแปลงยางดังกล่าว โดยการสูมเก็บใบแห้งในฤดูกาลผลัดใบของปี จากโครงตาก่อน ๆ ละ 50 ใบ นำมารวมกันแล้วแบ่งเป็น 3 ส่วนเท่า ๆ กัน นำไปอบที่อุณหภูมิ 65 องศาเซลเซียส เป็นเวลา 48 ชั่วโมง หรือจนมีน้ำหนักคงที่ แล้วนำมาซึ่งน้ำหนักแห้ง จากนั้นนำไปยังทั้งหมดมาจุ่มน้ำ ประมาณหนึ่งคืนให้ใบยางแห้งแล้วจึงมีขนาดคงเดิม แล้วนำไปทับด้วยกระดาษหนังสือพิมพ์จน

ใบ芽เรียบและแห้ง จึงนำไปวัดพื้นที่ใบด้วยเครื่องวัดพื้นที่ใบแล้วรวมพื้นที่ใบทั้งหมด นำค่าพื้นที่ใบและน้ำหนักแห้งที่ได้ทั้งหมด มาคำนวณเป็นค่า เฉลี่ยอัตราส่วนพื้นที่ใบต่อน้ำหนักแห้งจำเพาะ ทั้งนี้ ติดตามเก็บใบ芽พาราจากโครงตาก่อนมาวิเคราะห์ค่าเฉลี่ยพื้นที่ใบในแต่ละเดือน โดยนำใบทั้งหมดจากแต่ละโครงตาก่อนมาแยกกับที่อุณหภูมิ 65 องศาเซลเซียส เป็นเวลา 48 ชั่วโมง หรือจนเมื่อน้ำหนักคงที่ นำค่าน้ำหนักแห้งที่ได้แต่ละโครงตาก่อนมาคำนวณค่าเฉลี่ยพื้นที่ใบ โดยนำค่าเฉลี่ยพื้นที่ใบต่อน้ำหนักแห้งจำเพาะ มาคูณด้วย ค่าเฉลี่ยน้ำหนักแห้งที่ได้แต่ละโครงตาก่อนมา แล้วคำนวณค่าเฉลี่ย LAI โดยคำนวณจากค่าเฉลี่ยพื้นที่ใบแต่ละโครงตาก่อนจะสมในแต่ละเดือนหารด้วยพื้นที่โครงตาก่อน (1 m<sup>2</sup>) ตั้งแต่ยางเริ่มแตกใบใหม่จนสิ้นสุด ระยะการผลัดใบตามฤดูกาลคำนวณดังนี้

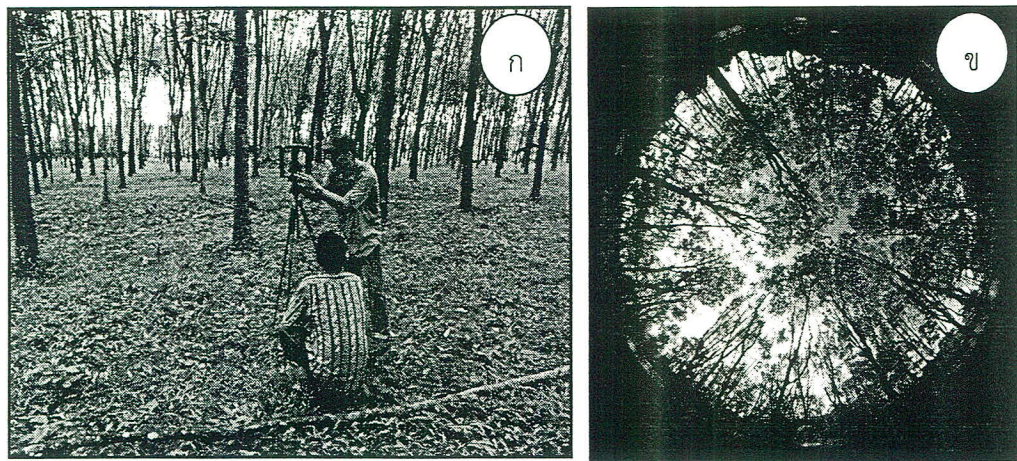
$$\text{ดัชนีพื้นที่ใบเฉลี่ย (LAI)} = \frac{A}{B}$$

เมื่อ A คือ ค่าเฉลี่ยพื้นที่ใบของโครงตาก่อนจะสมในแต่ละเดือน  
B คือ พื้นที่เฉลี่ยของโครงตาก่อนที่กำหนดให้เท่ากับ 1 m<sup>2</sup>

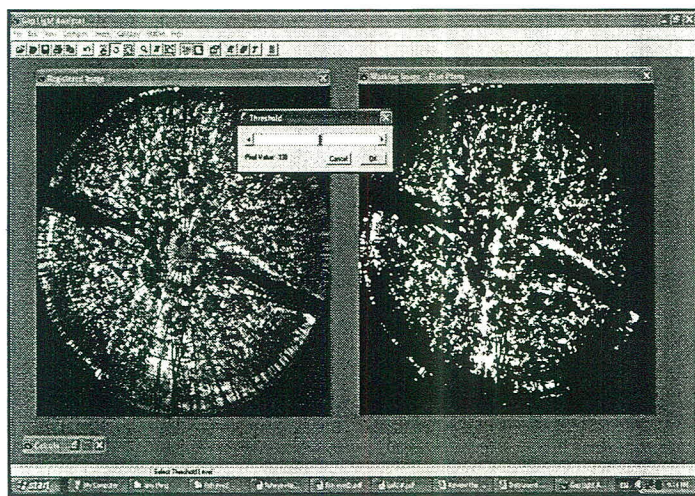
สร้างสมการรูปแบบความสัมพันธ์ ระหว่างค่าจริงของ LAI ที่ได้จากโครงตาก่อนมา และค่าที่ได้จากการถ่ายด้วยเทคนิคการถ่ายภาพด้วยเลนส์ต้าปลา ด้วยการวิเคราะห์สมการรีเกรสชันความสัมพันธ์เพื่อใช้ เป็นสมการในการปรับค่าประมาณ LAI ใน การประเมินการเปลี่ยนแปลงของ LAI ของแปลงยางในพื้นที่ศึกษา วัดระยะปลูกและเส้นรอบวงของลำต้นที่ ระดับ 1.70 เมตร จากพื้นดิน ถ่ายภาพทรงพุ่มของยางพาราในพื้นที่ศึกษา ด้วยเทคนิคการถ่ายภาพด้วยเลนส์ต้าปลา นำภาพที่ได้ไปวิเคราะห์ประมาณค่าเฉลี่ย LAI ด้วยโปรแกรมประมวลข้อมูลดัชนีพื้นที่ใบ โดยรูปแบบการบันทึกข้อมูลการศึกษาการเปลี่ยนแปลงของดัชนีพื้นที่ใบ芽แสดงในตารางที่ 3.6



รูปที่ 3.20 การวัดเส้นรอบวงลำต้นยางพารา (ก) และการติดตั้งโครงตาก่อนขนาดพื้นที่รองรับ 1x1m<sup>2</sup> (ข)



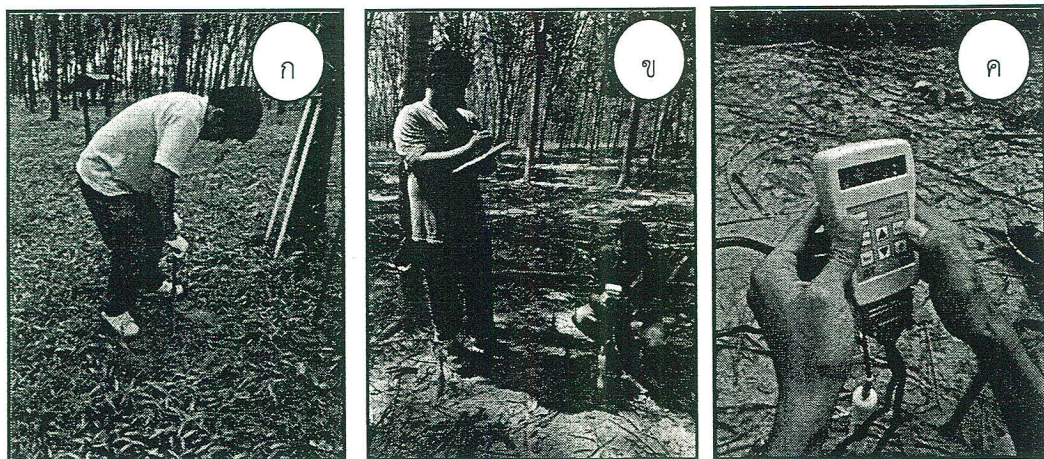
รูปที่ 3.21 การถ่ายภาพทรงพุ่มต้นยางพาราด้วยเลนส์ตาปลา (ก) และตัวอย่างภาพถ่ายทรงพุ่ม ต้นยางพารา (ข)



รูปที่ 3.22 ตัวอย่างการวิเคราะห์ดัชนีพื้นที่ใบยางพาราจากภาพถ่าย โดยโปรแกรม Gap Light Analyzer (GLA)

## 2.2 ศึกษาการเปลี่ยนแปลงความชื้นดินในสวนยางพารา

เพื่อประเมินการเปลี่ยนแปลงความชื้นในรอบปี คือ ในช่วงฤดูร้อนและฤดูฝนจะวัดความชื้นดินด้วยเครื่องมือวัดความชื้นดิน คือ Soil Moisture depth (Delta T, UK) ที่ระดับความลึก 1 เมตรจากผิวดิน ที่ดำเนินการระหว่างแกรและระหว่างต้นยางพาราซึ่งใช้ระยะปลูกประมาณ  $3 \times 7$  เมตร (รูปที่ 3.23) โดยรูปแบบการบันทึกข้อมูลค่าเฉลี่ยความชื้นดินในแปลงทดลองแสดงในตารางที่ 3.7



รูปที่ 3.23 การติดตั้ง Access tube เพื่อวัดความชื้นดินโดยใช้เครื่อง Soil profile probe

ตารางที่ 3.6 รูปแบบการบันทึกข้อมูลการศึกษาการเปลี่ยนแปลงของดัชนีพื้นที่ใบยางพารา

รหัสแปลง	เดือน-ปี	พื้นที่ใบในโครงต่าย (ตร.ม.)	ดัชนีพื้นที่ใบจากโครงต่าย	ดัชนีพื้นที่ใบจากภาพถ่าย	ค่าเฉลี่ยเส้นรอบวงสำด้าน (ซม.)
SR 1	พ.ย. 2554	-			
	ธ.ค. 2554				
	ม.ค. 2555				
	ก.พ. 2555				
	มี.ค. 2555				
	เม.ย. 2555				

ตารางที่ 3.7 รูปแบบการบันทึกข้อมูลค่าเฉลี่ยความชื้นดินในแปลงทดลอง

รหัสแปลง	ระดับความ ลึก (ซม.)	เดือน					
		ต.ค. 2554	พ.ย. 2554	ธ.ค. 2554	ม.ค. 2555	ก.พ. 2555	มี.ค. 2555
SR 1	10						
	20						
	30						
	40						
	60						
	100						

### 2.3 ประเมินผลผลิตและคุณภาพน้ำยาง

รวบรวมผลผลิตน้ำยางจากแปลงทดลอง โดยเก็บผลผลิตน้ำยางสดเป็นรายวันที่กรีด โดยเกษตรกรเจ้าของสวนยางพาราที่ทำการทดลองจะเป็นผู้บันทึกน้ำหนักน้ำยางสดจากจุดรับซื้อน้ำยาง โดยแบบบันทึกผลผลิตและจำนวนวันกรีดของแปลงทดลองแสดงในตาราง 3.8 ซึ่งปริมาณผลผลิตเนื้อยางแห้งคำนวณได้จากสูตร

$$\text{น้ำหนักเนื้อยางแห้ง (กรัม)} = [\text{น้ำหนักน้ำยางสด (กรัม)} \times \text{เบอร์เซ็นต์เนื้อยางแห้ง}] / 100$$

จากนั้นคำนวณผลผลิตเนื้อยางแห้ง โดยใช้หน่วยกรัมต่อตันต่ocrั้งกรีด และกิโลกรัมต่อไร่ต่อปี จากสูตร

- กรัมต่อตันต่ocrั้งกรีด = ผลรวมน้ำหนักน้ำยาง (กรัม)/จำนวนตัน/ จำนวนวันกรีด
- กิโลกรัมต่อไร่ต่อปี = ผลผลิต (กรัม/ตัน/cรั้งกรีด) × จำนวนวันกรีด × จำนวนตันต่อไร่/1,000

รวมไปถึงรวบรวมจำนวนวันกรีดต่อปีด้วย ส่วนคุณภาพน้ำยางจะประเมินค่า Dry rubber content หรือ DRC (ฉบับรัฐ แสงรักษากวงศ์, 2528) โดยเก็บน้ำยางเพื่อประเมินผลเดือนละครั้ง นำไปซึ่งน้ำหนักสด หลังจากนั้นหยดกรดอะซิติกเข้มข้น 6% ประมาณ 3 - 5 หยด ลงไปในน้ำยางผสมให้เข้ากัน ตั้งทิ้งไว้ประมาณ 10 นาที หรือจนกว่ายางจะจับตัวเป็นก้อน รีดแผ่นยางให้บาง นำไปอบที่อุณหภูมิ 65 องศาเซลเซียส นาน 24 ชั่วโมง นำแผ่นยางมาซั่งน้ำหนักยางแห้ง และคำนวณโดยใช้สูตร

$$\% \text{ DRC} = \frac{\text{น้ำหนักยางแห้ง (กรัม)} \times 100}{\text{น้ำหนักยางสด (กรัม)}}$$

## 2.4 ศึกษาความสัมพันธ์ระหว่างสภาพแวดล้อมกับการเกิดแพร์ร่าบาดของโรคในสวนยางพารา

ตรวจสอบการร่วง/การผลัดใบตามธรรมชาติของยางในภาพรวมของแต่ละพื้นที่ทดลอง ตั้งแต่เริ่มถูกการผลัดใบจนกระทั่งมีไปใหม่สมบูรณ์ โดยบันทึกช่วงเวลาที่เริ่มร่วง เปอร์เซ็นต์การร่วงของใบ ช่วงเวลาที่ร่วงหมดและ การผลลัพธ์ใหม่ จำนวน 9 ชั้า/แปลงทดลอง (ตาราง 3.9 แบบบันทึกการตรวจสอบการแพร์ร่าบาดของโรคราแป้ง)

(1) ตรวจสอบการเกิดโรคและการร่วงของใบจากโรคราแป้ง (อารมณ์ ใจสุจิตร และคณะ, 2545) โดยประเมินโรคโดยการตรวจสอบด้วยสายตาในภาพรวมของพื้นที่ทดลอง ซึ่งตรวจสอบลักษณะดังนี้ พื้นที่แพลงของโรค บ่นแผ่นใบ การกระจายของใบที่เป็นโรคทั้งทรงพุ่ม และการร่วงของใบอ่อน และบันทึกคะแนนความรุนแรงของโรค เป็น 6 ระดับ ดังนี้

- 1 = ไม่แสดงอาการ
- 2 = น้อยมาก มีพื้นที่แพลงน้อย และการกระจายของใบที่เป็นโรค 1-10%
- 3 = น้อย มีพื้นที่แพลงน้อย และการกระจายของใบที่เป็นโรคมากกว่า 11-25%
- 4 = ปานกลาง มีพื้นที่แพลงน้อย และการกระจายของใบที่เป็นโรคมากกว่า 26-50%

และมีใบร่วงน้อยกว่า 25%

- 5 = รุนแรง มีพื้นที่แพลงน้ำหนัก การกระจายของใบที่เป็นโรค 51-75% มีใบร่วง 25-50%
- 6 = รุนแรงมาก และมีพื้นที่แพลงน้ำหนัก และการกระจายของใบที่เป็นโรคมากกว่า 75%  
และใบร่วงมากกว่า 75%

(2) ตรวจสอบการเป็นโรคใบร่วงที่เกิดจากเชื้อ *Phytophthora* ของยางพารา (อารมณ์ ใจสุจิตร และคณะ, 2545) ในช่วงตั้งแต่เริ่มถูกฝนจนสิ้นสุดถูกฝน ตรวจสอบความรุนแรงของโรค 1 ครั้ง/เดือน ประเมินโรคโดย การตรวจสอบด้วยสายตาในภาพรวมของพื้นที่ทดลอง โดยประเมินความโปรด়েงของทรงพุ่มใบ คิดเป็นเปอร์เซ็นต์ของ ทรงพุ่มใบปกติหรือปริมาณใบร่วงบนพื้นดิน และบันทึกคะแนนความรุนแรงของโรค 6 ระดับ (ตาราง 3.10) ดังนี้

- 0 = ไม่แสดงการ
- 1 = น้อยมาก มีพุ่มใบโปรด়েงหรือปริมาณใบร่วงบนพื้นดินประมาณ 1-10%
- 2 = น้อย มีพุ่มใบโปรด়েงหรือปริมาณใบร่วงบนพื้นดินประมาณ 11-25%
- 3 = ปานกลาง มีพุ่มใบโปรด়েงหรือปริมาณใบร่วงบนพื้นดินประมาณ 26-50%
- 4 = รุนแรง มีพุ่มใบโปรด়েงหรือปริมาณใบร่วงบนพื้นดินประมาณ 51-75%
- 5 = รุนแรงมาก มีพุ่มใบโปรด়েงหรือปริมาณใบร่วงบนพื้นดินมากกว่า 75%

(3) วิเคราะห์ความรุนแรงของโรคของพันธุ์ยาง และความรุนแรงของโรคในภาพรวมของแปลงทดลอง เป็นดัชนีความรุนแรงของโรคเป็น% (Percentage Disease Index : PDI)

คำนวณเปอร์เซ็นต์ดัชนีความรุนแรงของโรคยางพาราหลังสิ้นฤดูรอบปีกรีดจากสูตร

$$\% \text{ ดัชนีความรุนแรงของโรคยางพารา (PDI)} = \frac{\text{ผลรวมของคะแนนการเป็นโรคของแต่ละชั้า}}{\text{จำนวนชั้า}} \times 100$$

ระดับความรุนแรงของโรค ตาม PDI ดังนี้

PDI < 20%	=	รุนแรงน้อยมาก
20 < PDI < 40%	=	รุนแรงน้อย
40 < PDI < 60%	=	รุนแรงปานกลาง
60 < PDI < 80%	=	รุนแรง
PDI > 80%	=	รุนแรงมาก

ตารางที่ 3.8 แบบบันทึกผลผลิต และจำนวนวันกรีดของแปลงทดลอง

ตารางบันทึกข้อมูลผลผลิตและจำนวนวันกรีด ประจำเดือน พฤษภาคม พ.ศ. 2554				
รหัสแปลง	วัน-เดือน-ปี	วันกรีดตามปฏิทิน	วันกรีดจริง	น้ำหนักน้ำยา/g (กิโลกรัม)
SR 1				

ตารางที่ 3.9 แบบบันทึกการตรวจสอบการแพร่ร้ายบัดของโรคราเป็ง

รหัสแปลง	เดือน-ปี	พื้นที่						การร่วง						ดัชนี รุนแรงของโรค
		1	2	3	4	5	6	1	2	3	4	5	6	
SR 1	ธ.ค. 2554													
	ม.ค. 2555													
	ก.พ. 2555													
	มี.ค. 2555													
	เม.ย. 2555													
	พ.ค. 2555													

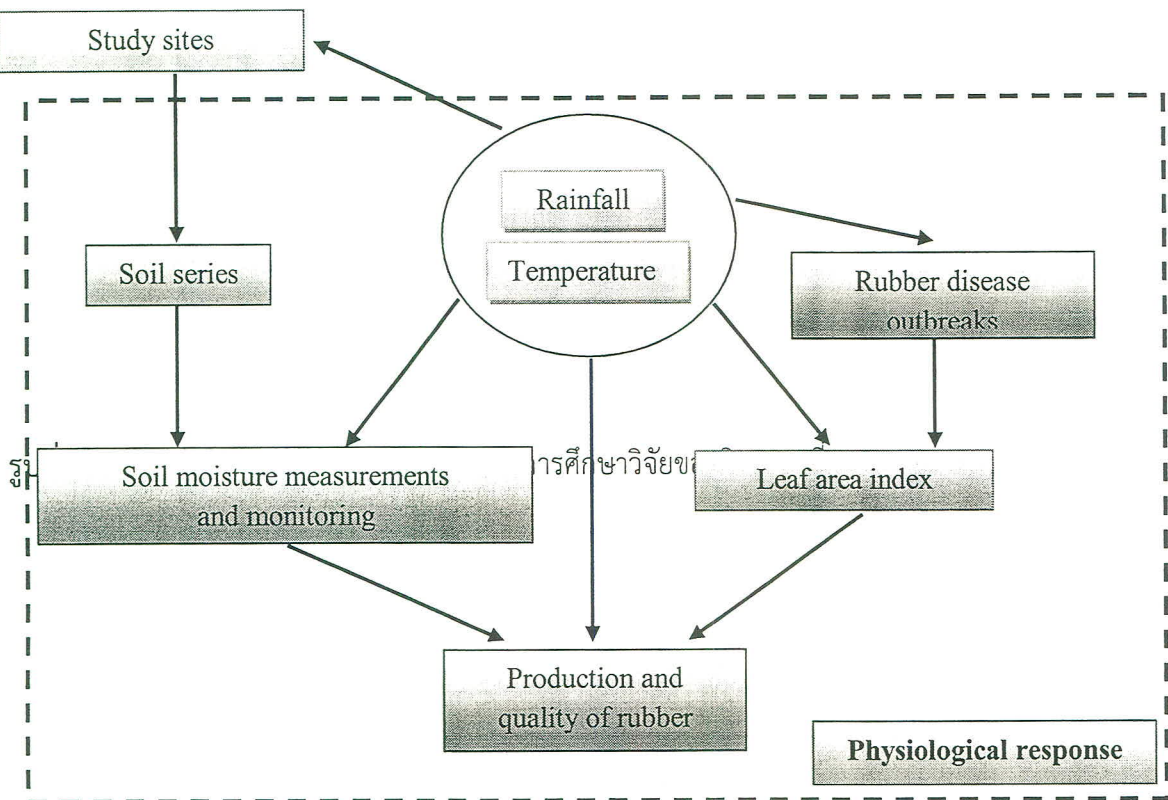
ตารางที่ 3.10 แบบบันทึกการตรวจสอบการแพร่ร้ายบัดของโรคร่วงจากเชื้อ *Phytophthora* sp.

รหัส แปลง	เดือน-ปี	คะแนนความรุนแรง						ดัชนีพื้นที่ใบจาก ภาพถ่าย	ปริมาณ ใน ร่องลงดิน	ดัชนี รุนแรงของโรค
		1	2	3	4	5	6			
SR 1	ธ.ค. 2554									
	ม.ค. 2555									
	ก.พ. 2555									
	มี.ค. 2555									
	เม.ย. 2555									
	พ.ค. 2555									
NK1	ต.ค. 2554									

## 2.5 การวิเคราะห์ข้อมูล

วิเคราะห์ข้อมูลโดยใช้เทคนิคทางสถิติพหุเชิงพรรณนา เพื่อประเมินความสัมพันธ์ระหว่างตัวแปรทางภูมิอากาศ คือ ปริมาณน้ำฝนและอุณหภูมิ กับดัชนีพื้นที่ใบ ผลผลิตน้ำยางและคุณภาพน้ำยาง (dry rubber content, DRC) จำนวนวันกรีด และความรุนแรงของการเกิดโรคระบาด

โดยรายละเอียดและการอุบแนวคิดของกิจกรรมที่ 2 แสดงในรูปที่ 3.24

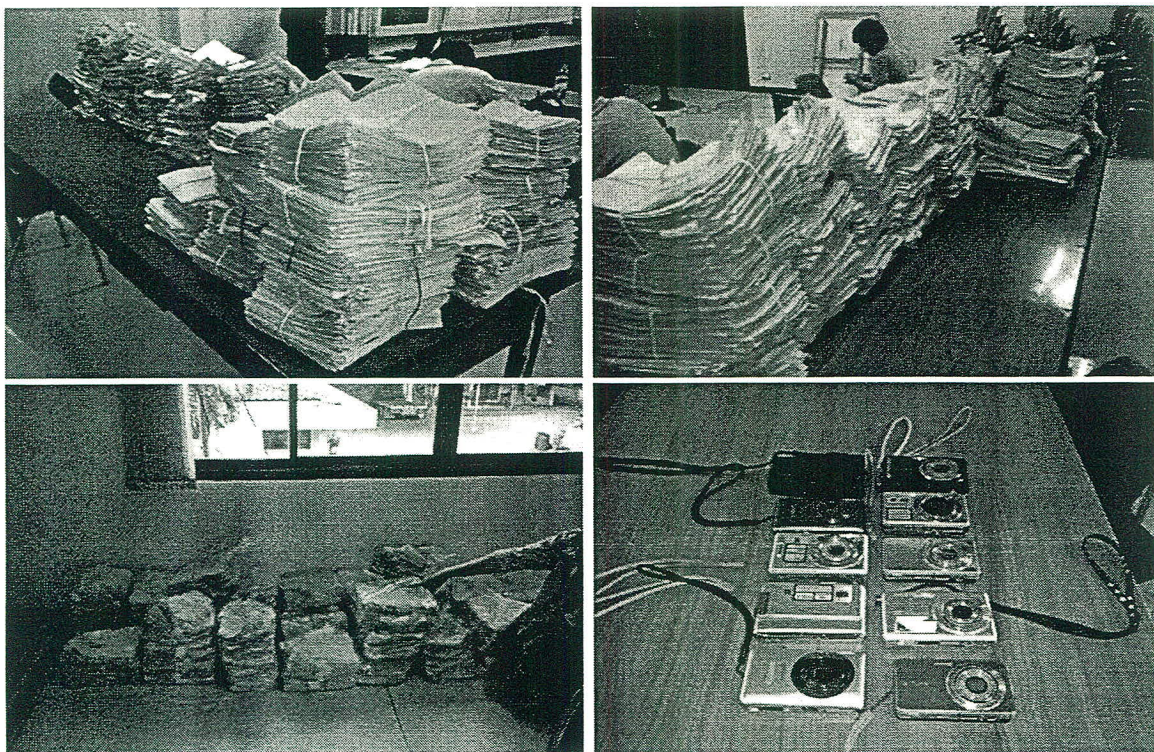


รูปที่ 3.24 แสดงรายละเอียดและกรอบแนวคิดของการศึกษาวิจัยของกิจกรรมที่ 2

### 3.4.3 กิจกรรมที่ 3 การศึกษาผลกระทบและความเสี่ยงของยางพาราจากภัยพิบัติทางภูมิอากาศในจังหวัดนำร่อง

(1) การบันทึกข้อมูลพื้นที่สวนยางพาราเสียหายรายบุคคลจากเหตุการณ์วัวตภัย อุทกภัย และดินโคลนถล่มในช่วงเดือนพฤษภาคม พ.ศ.2553 และเหตุการณ์เดือนมีนาคม-เมษายน ปี พ.ศ.2554 ด้วยกล้องดิจิตอล

การดำเนินงานในขั้นตอนนี้ เป็นการบันทึกข้อมูลด้วยวิธีการถ่ายภาพโดยใช้กล้องถ่ายรูปดิจิตอลบันทึกภาพแบบคำร้องขอรับความช่วยเหลือเกษตรกรผู้ประสบอุทกภัยและดินถล่ม และแบบรายงานผลสำรวจความเสียหายเกษตรกรผู้ประสบอุทกภัยและดินถล่ม ใช้กล้องดิจิตอลบันทึกภาพทั้งสิ้น 10 ตัว บันทึกภาพทั้งสิ้น 41,565 ภาพ ขนาดไฟล์ทั้งสิ้น 69.9 GB จากพื้นที่ 11 อำเภอ ที่ได้รับความเสียหายในเขตพื้นที่จังหวัดพัทลุง ทั้งนี้ การบันทึกข้อมูลด้วยวิธีการถ่ายภาพนับเป็นวิธีการที่มีความเหมาะสมกับการดำเนินงานในลักษณะที่มีความซับซ้อนในเรื่องของงบประมาณเข้ามาเกี่ยวข้อง รวมถึงจำนวนเอกสารที่มีอยู่เป็นจำนวนมาก (รูปที่ 3.25) การบันทึกข้อมูลในลักษณะนี้ยังเพิ่มความสะดวกในการตรวจสอบข้อมูลผิดพลาดจากการนำเข้าข้อมูลโดยสามารถเปิดภาพที่บันทึกตรวจสอบความถูกต้องได้ทันทีและยังลดเวลาในการลงพื้นที่เพิ่มมากขึ้น



รูปที่ 3.25 แบบคำร้องขอรับความช่วยเหลือเกษตรกรผู้ประสบอุทกภัยและดินถล่ม และแบบรายงานผลสำรวจความเสียหายเกษตรกรผู้ประสบอุทกภัยและดินถล่ม

(2) การจัดทำฐานข้อมูลพื้นที่สวนยางพาราเสียหายรายบุคคลจากเหตุการณ์วัวตัวภัย อุทกภัย และดินโคลนถล่มในช่วงเดือนพฤษภาคม ปี พ.ศ. 2553 และเหตุการณ์ปลายเดือนมีนาคม-ต้นเดือนเมษายน ปี พ.ศ. 2554

โปรแกรม Microsoft excel ได้ถูกนำมาใช้สำหรับจัดทำฐานข้อมูลพื้นที่สวนยางพาราเสียหาย เนื่องจาก เป็นโปรแกรมที่ผู้ใช้งานคอมพิวเตอร์ใช้อย่างแพร่หลาย รวมทั้งเป็นโปรแกรมที่มีฟังก์ชันพื้นฐานง่ายต่อการใช้งาน ทั้งในการนับจำนวนคุณภาพข้อมูลหรือการคัดกรอง จำแนก แบ่งประเภทหรือชนิดข้อมูลได้อย่างมีประสิทธิภาพ ซึ่งการนำเข้าข้อมูลจากไฟล์ภาพสู่ฐานข้อมูลในโปรแกรม Microsoft excel นั้น ภายในฐานข้อมูลได้ถูกแบ่งออกเป็น 3 ชุด ดังนี้

ชุดที่ 1 ประกอบด้วย ชื่อไฟล์เดอร์ หมายเลขอปกรณ์ ที่อยู่เจ้าของสวนยาง บ้านเลขที่ หมู่ ตำบล อำเภอ ที่ตั้งสวนยางพารา ชื่อหมู่บ้าน หมู่ ตำบล อำเภอ และข้อมูลสวนยางพาราเสียหาย เนื้อที่ (ไร่) จำนวนตันยางพารา ที่ปลูก (ตัน) อายุต้นยางพารา (ปี/เดือน) ซึ่งข้อมูลในชุดที่ 1 นี้ เป็นข้อมูลเบื้องต้นที่เจ้าของสวนยางพาราเป็นผู้กรอกแบบคำร้องขอรับความช่วยเหลือเกษตรกรผู้ประสบอุทกภัยและดินถล่ม ซึ่งการบันทึกข้อมูลเข้าฐานข้อมูลในชุดที่ 1 นี้ สามารถตรวจสอบความถูกต้องของจำนวนไฟล์เดอร์ จำนวนภาพถ่ายที่ทำการบันทึกข้อมูลได้ ทั้งนี้เพื่อลดความผิดพลาดในการนำเข้าข้อมูลซ้ำ ในขณะที่การนำเข้าข้อมูลที่อยู่เจ้าของสวนยางพาราจะเป็นการตรวจสอบความถูกต้องของข้อมูลในกรณีที่เจ้าของสวนยางพาราไม่ได้แจ้งรายละเอียดที่ตั้งสวนยางพาราหรือแจ้งข้อมูลไม่ครบ รูปที่ 3.26 แสดงรายละเอียดฐานข้อมูลชุดที่ 1

ชุดที่ 2 ประกอบด้วย 4 รูปแบบความเสียหายตามรายประเภท คือ

1. สวนอยู่ระหว่างการลงเคราะห์เสียหาย มีรายละเอียด เสียสภาพสวนทั้งแปลง (ไร่) เสียหายเสียสภาพสวนบางส่วน (ไร่) เสียหายไม่เสียสภาพสวน (ตัน) ปลูกซ่อม/ค้ำยัน (ตัน) ปลูกซ่อมไม่ได้ (ตัน)

2. สวนยางเปิดร่องแล้ว มีรายละเอียด เนื้อที่ (ไร่) จำนวน (ตัน) เสียหายเสียสภาพสวนทั้งแปลง (ไร่) เสียหายเสียสภาพสวนบางส่วน (ไร่) เสียหายไม่เสียสภาพสวน (ตัน) ยกค้ำยัน (ตัน) ยกค้ำยันไม่ได้ (ตัน) และ

3. สวนยางปลูกเองยังไม่เปิดร่อง / สวนยางพื้นสงเคราะห์ยังไม่เปิดร่อง มีรายละเอียด เนื้อที่ (ไร่) จำนวน (ตัน) อายุ (ปี/เดือน) เสียหายเสียสภาพสวนทั้งแปลง (ไร่) เสียหายเสียสภาพสวนบางส่วน (ไร่) เสียหายไม่เสียสภาพสวน (ตัน) ปลูกซ่อม (ตัน) ยกค้ำยัน (ตัน) เสียหายไม่เสียสภาพสวน/ปลูกซ่อมค้ำยันไม่ได้ (ตัน)

4. มูลค่าความเสียหาย/เงินชดเชยเกษตรกร (บาท) ซึ่งรายละเอียดฐานข้อมูลชุดที่ 2 ทั้ง 4 รูปแบบ ดังแสดงในรูปที่ 3.27

สำหรับหลักเกณฑ์การให้ความช่วยเหลือเกษตรกรชาวสวนยางที่ได้รับความเสียหาย จากราดภัย อุทกภัย และดินถล่มตามมติ ครม. เมื่อวันที่ 16 พฤษภาคม 2553 ตามระเบียบสำนักงานกองทุนสงเคราะห์การทำสวนยาง ว่าด้วยการให้การลงเคราะห์ เพื่อปลูกแทน พ.ศ. 2551 และระเบียบสำนักงานกองทุนสงเคราะห์การทำสวนยางว่าด้วยการช่วยเหลือสวนประสบภัยธรรมชาติ พ.ศ. 2538

Name_Folder	No.photo	No.	ที่อยู่			อำเภอ	ที่ตั้งส่วนราชการ			ข้อมูลส่วนบุคคลของพาราเลี้ยงหาย			
			เลขที่	หมู่	ตำบล		บ้าน	หมู่	ตำบล	อำเภอ	(ไร่)	(ตัน)	เพศ
Canon 1	IMG9930-9931	1	78	1	โคลกหาราย	ป่าบอน	เกาะเกรียน	1	โคลกหาราย	ป่าบอน	4	250	2
	IMG9932-9933	2	67	2	โคลกหาราย	ป่าบอน	คานเทา	2	โคลกหาราย	ป่าบอน	4	320	7
	IMG9934-9935	3	67	2	โคลกหาราย	ป่าบอน	คานเทา	2	โคลกหาราย	ป่าบอน	7	350	6
	IMG9936-9937	4	67	2	โคลกหาราย	ป่าบอน	คานเทา	2	โคลกหาราย	ป่าบอน	10	800	3
	IMG9938-9939	5	168	6	โคลกหาราย	ป่าบอน	คันแร่	2	โคลกหาราย	ป่าบอน	9	40	3
	IMG9940-9941	6	168/1	6	โคลกหาราย	ป่าบอน	คันแร่	2	โคลกหาราย	ป่าบอน	5	24	5
	IMG9942-9943	7	80/58	6	โคลกหาราย	หาดใหญ่	คันแร่	2	โคลกหาราย	ป่าบอน	1	40	15
	IMG9944-9945	8	37	1	โคลกหาราย	ป่าบอน	เกาะเกรียน	2	โคลกหาราย	ป่าบอน	8	280	10
	IMG9946-9947	9	34	2	โคลกหาราย	ป่าบอน	คานเทา	2	โคลกหาราย	ป่าบอน	2	210	3
	IMG9948-9949	10	33	2	โคลกหาราย	ป่าบอน	คานเทา	2	โคลกหาราย	ป่าบอน	6	280	9
	IMG9950-9951	11	93	2	โคลกหาราย	ป่าบอน	คานเทา	2	โคลกหาราย	ป่าบอน	4	370	10
	IMG9952-9953	12	31	1	โคลกหาราย	ป่าบอน	เกาะเกรียน	2	โคลกหาราย	ป่าบอน	4	232	10
	IMG9954-9955	13	93	2	โคลกหาราย	ป่าบอน	คานเทา	2	โคลกหาราย	ป่าบอน	4	300	20

รูปที่ 3.26 รายละเอียดฐานข้อมูลชุดที่ 1

จำนวนหุ้นของภารกิจระหว่าง				จำนวนเงินที่ได้รับ								จำนวนเงินที่ได้รับ								(บาท)				
ภารกิจระหว่าง	จำนวนหุ้นที่ได้รับ																							
(1)	(2)	(3)	(4)	(5)	(6)	(7)	(8)	(9)	(10)	(11)	(12)	(13)	(14)	(15)	(16)	(17)	(18)	(19)	(20)	(21)	(22)	(23)	(24)	
	215	215																						21,500
	30	30																						3,000
	170	170																						17,000
	280	280																						28,000
	800	800																						80,000
	72	72																						7,200
	152	152																						15,200
	100	100																						10,000
	250	250																						25,000
	54	54																						5,400
																	2	140	1			140	140	24,500
	70	70																						7,000
	300	300																						30,000
	700	700																						70,000
	200	200																						20,000
	260	260																						26,000
																	2	150	4			400	400	40,000
	150	150																						4,500
	300	300																						9,000
	1,160	1,160																						34,800
		480	480																					14,400

รูปที่ 3.27 รายละเอียดฐานข้อมูลชุดที่ 2

(3) การพนวกฐานข้อมูลพื้นที่สวนยางพาราเสียหายเข้ากับฐานข้อมูลสารสนเทศทางภูมิศาสตร์ (GIS)

การดำเนินงานวิจัยในขั้นตอนนี้ได้ใช้ฐานข้อมูลสารสนเทศทางภูมิศาสตร์ (GIS) จังหวัดพัทลุง ของศูนย์บริการสารสนเทศสิ่งแวดล้อม กรมส่งเสริมคุณภาพสิ่งแวดล้อม ซึ่งประกอบด้วย (1.) ชื่อจังหวัด (2.) ชื่ออำเภอ (3.) ชื่อตำบล (4.) ชื่อหมู่บ้าน (5.) ค่าพิกัดแกน X (6.) ค่าพิกัดแกน Y (รูปที่ 3.28) ทั้งนี้ เพื่อรองรับขั้นตอนการวิเคราะห์และจัดทำแผนที่ความเสียหายระดับหมู่บ้าน ซึ่งการพนวกข้อมูลระหว่างข้อมูลพื้นที่สวนยางพาราเสียหาย กับฐานข้อมูลสารสนเทศทางภูมิศาสตร์ (GIS) คณวิจัยได้นำฐานข้อมูลความจำเป็นพื้นฐาน (จปฐ.) ในส่วนของเขตการปกครอง รายชื่อหมู่บ้าน ตำบล อำเภอ และจังหวัด ซึ่งถูกจัดอยู่ในรูปแบบของ Microsoft Access (รูปที่ 3.29) ที่ดำเนินการโดยกรรมการพัฒนาชุมชน เข้ามาร่วมตรวจสอบความถูกต้องของรายชื่อหมู่บ้าน ตำบล และอำเภอ ซึ่งขั้นตอนการดำเนินงานแสดงในรูปที่ 3.30

CHANGWAT	AMPHOE	TAMBOL	MUBAN	UTMX	UTMY
พัทลุง	เมืองพัทลุง	เข้าเจียก	บ้านหนองบ่อ (ป่าห้าม)	614966	841298
พัทลุง	เมืองพัทลุง	เข้าเจียก	บ้านดอนปริง	615866	842698
พัทลุง	เมืองพัทลุง	เข้าเจียก	บ้านไสยาง	613498	843356
พัทลุง	เมืองพัทลุง	เข้าเจียก	บ้านป่าไส	613498	842356
พัทลุง	เมืองพัทลุง	เข้าเจียก	บ้านอโກคลา	615166	844098
พัทลุง	เมืองพัทลุง	เข้าเจียก	บ้านประดู่	614366	841898
พัทลุง	เมืองพัทลุง	เข้าเจียก	บ้านปานปะ	614166	842498
พัทลุง	เมืองพัทลุง	เข้าเจียก	บ้านหัวยาง	613898	840656
พัทลุง	เมืองพัทลุง	เข้าเจียก	บ้านหัวถนน	613566	842898
พัทลุง	เมืองพัทลุง	เข้าเจียก	บ้านดอนเต็ต	616466	843798
พัทลุง	เมืองพัทลุง	เข้าเจียก	บ้านนาชาด (นางลาด)	616566	841898
พัทลุง	เมืองพัทลุง	โคกชะงาย	บ้านคนใหม่	608666	843198
พัทลุง	เมืองพัทลุง	โคกชะงาย	บ้านโคกชะงาย	611966	840398
พัทลุง	เมืองพัทลุง	โคกชะงาย	บ้านโคกอก	609079	839060
พัทลุง	เมืองพัทลุง	โคกชะงาย	บ้านลำพายตาก	611766	844498
พัทลุง	เมืองพัทลุง	โคกชะงาย	บ้านหนองจิก	609030	843868
พัทลุง	เมืองพัทลุง	โคกชะงาย	บ้านโคกมะม่วง	608816	841202

รูปที่ 3.28 ฐานข้อมูลสารสนเทศทางภูมิศาสตร์ (GIS) ของจังหวัดพัทลุง

จัด Access ห้องแมค

ค้นหา...

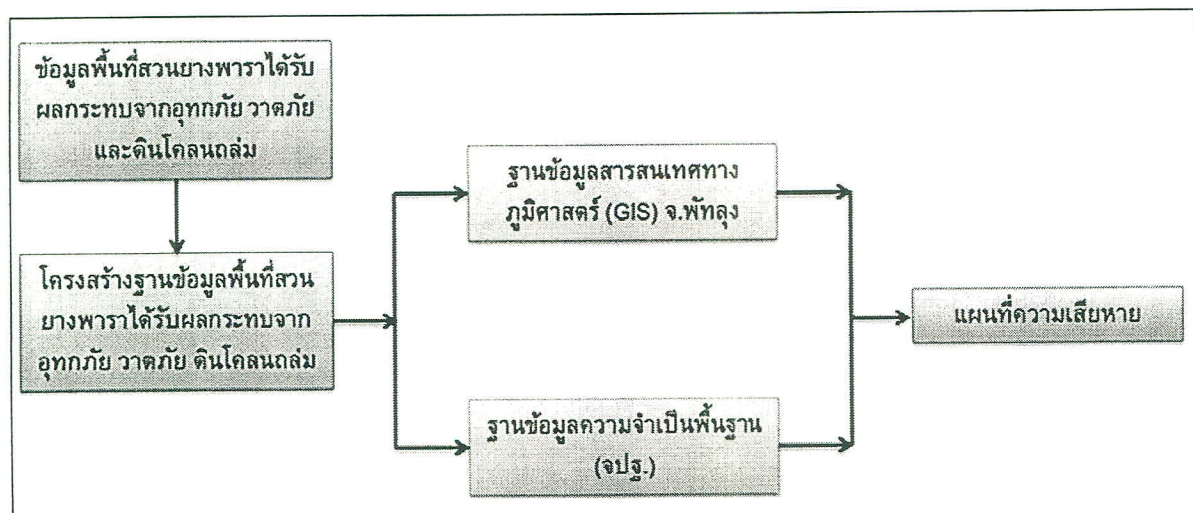
ตาราง

- ampur
- bmrregion
- province
- region
- tambon
- village

ampur

ProvID	AmpName	AmpID	IsSelected	การตั้งค่าอื่นๆ
93	พืชบานทุ่ง	9301	<input type="checkbox"/>	
930101	เมืองสิงห์			
930104	ท่ามิหรือ			
930105	โคกกระยาง			
930106	นาท่วง			
930107	ปราสาทบูร			
930108	ท่าศาลา			
930109	ล้านนา			
930110	ภารตะวัน			
930111	ภารตะวัน			
930112	ร่องผีเสื้อ			
930113	ชัยใจดี			
930114	นาโพธิ์			
930115	พญาธิรัตน์			
*				
93	กงหรา	9302	<input type="checkbox"/>	
93	เทาเชียง	9303	<input type="checkbox"/>	
93	ศะโขมศ	9304	<input type="checkbox"/>	
93	ควนขันน	9305	<input type="checkbox"/>	
93	ปักหมุด	9306	<input type="checkbox"/>	
93	ศรีบรรพต	9307	<input type="checkbox"/>	
93	ป่านอน	9308	<input type="checkbox"/>	
93	บางพัว	9309	<input type="checkbox"/>	
93	บ้านยหอม	9310	<input type="checkbox"/>	
93	ศรีนครินทร์	9311	<input type="checkbox"/>	

รูปที่ 3.29 ฐานข้อมูลความจำเป็นพื้นฐาน (จปฐ.)

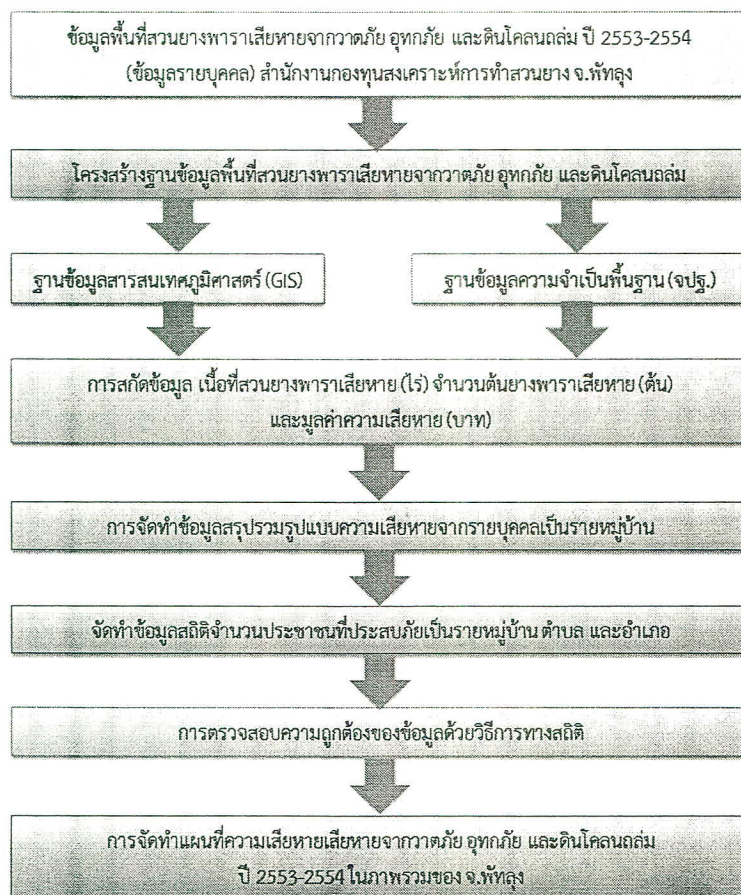


รูปที่ 3.30 ขั้นตอนการผนวกข้อมูล

(4) การจัดเรียงข้อมูลสำหรับจัดทำแผนที่ความเสียหายจากการตภัย อุทกภัยและดินโคลนล่ม

จากการจัดทำและผนวกข้อมูลพื้นที่สวนยางพาราเสียหายรายบุคคลเข้ากับฐานข้อมูลความจำเป็นพื้นฐาน (จปธ.) และข้อมูลสารสนเทศทางภูมิศาสตร์ (GIS) ฐานข้อมูลดังกล่าวเป็นฐานข้อมูลที่มีขนาดใหญ่และช่วงขั้นข้อมูลมีความละเอียดสูง ขั้นตอนการดำเนินงานหลังจากนี้ คือ การรวบรวมข้อมูลให้เข้าเป็นหมวดหมู่เดียวกัน ตามรูปแบบความเสียหาย ซึ่งแบ่งออกได้เป็น 3 รูปแบบหลักที่มีความสำคัญต่อการวิเคราะห์และจัดทำแผนที่ความเสียหาย ประกอบด้วย เนื้อที่สวนยางพาราเสียหาย จำนวนต้นยางพาราเสียหาย และมูลค่าความเสียหาย ซึ่งแบ่งออกได้เป็น 3 รูปแบบหลักที่มีความสำคัญต่อการวิเคราะห์และจัดทำแผนที่ความเสียหาย ประจำบ้าน เนื้อที่สวนยางพาราเสียหาย จำนวนต้นยางพาราเสียหาย และมูลค่าความเสียหาย ซึ่งข้อมูลดังกล่าวต้องทำการรวบรวมและสกัดออกจากฐานข้อมูลที่ได้จัดทำไว้

เมื่อทำการรวบรวมและสกัดออกข้อมูลเนื้อที่สวนยางพาราเสียหาย จำนวนต้นยางพาราเสียหาย และมูลค่าความเสียหายแล้ว การดำเนินงานขั้นต่อไป คือ การสรุปรวมความเสียหายจากรายบุคคลเป็นรายหมู่บ้าน โดยการใช้โปรแกรม Microsoft excel คัดกรองและรวมค่าข้อมูลเป็นรายหมู่บ้านใน 3 รูปแบบความเสียหาย ซึ่ง ในขั้นตอนการสรุปรวมความเสียหายคงจะวิจัยได้จัดทำข้อมูลสถิติจำนวนประชาชนที่ประสบภัยเป็นรายหมู่บ้าน ตำบล และอำเภอ เพื่อเป็นข้อมูลเพิ่มเติมในการพิจารณารายละเอียดความเสียหายต่อไป จากนั้นจะเป็นการทดสอบทางสถิติก่อนนำเข้าประมวลผลจัดทำแผนที่ความเสียหายด้านเทคนิคทางสารสนเทศภูมิศาสตร์ (GIS) ขั้นตอนการจัดเรียงข้อมูลแสดงในรูปที่ 3.31



รูปที่ 3.31 ขั้นตอนการจัดเรียงข้อมูลของกิจกรรมที่ 3